

Fig. 1

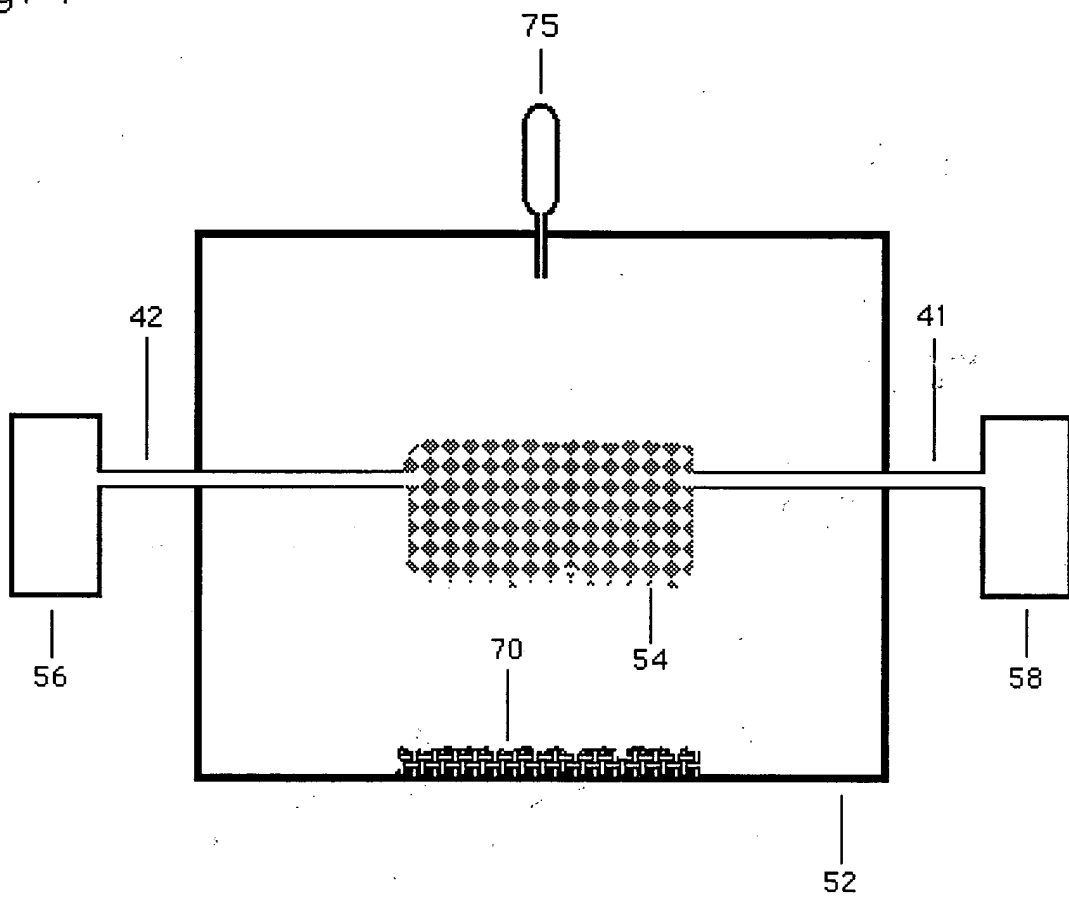


Fig. 2

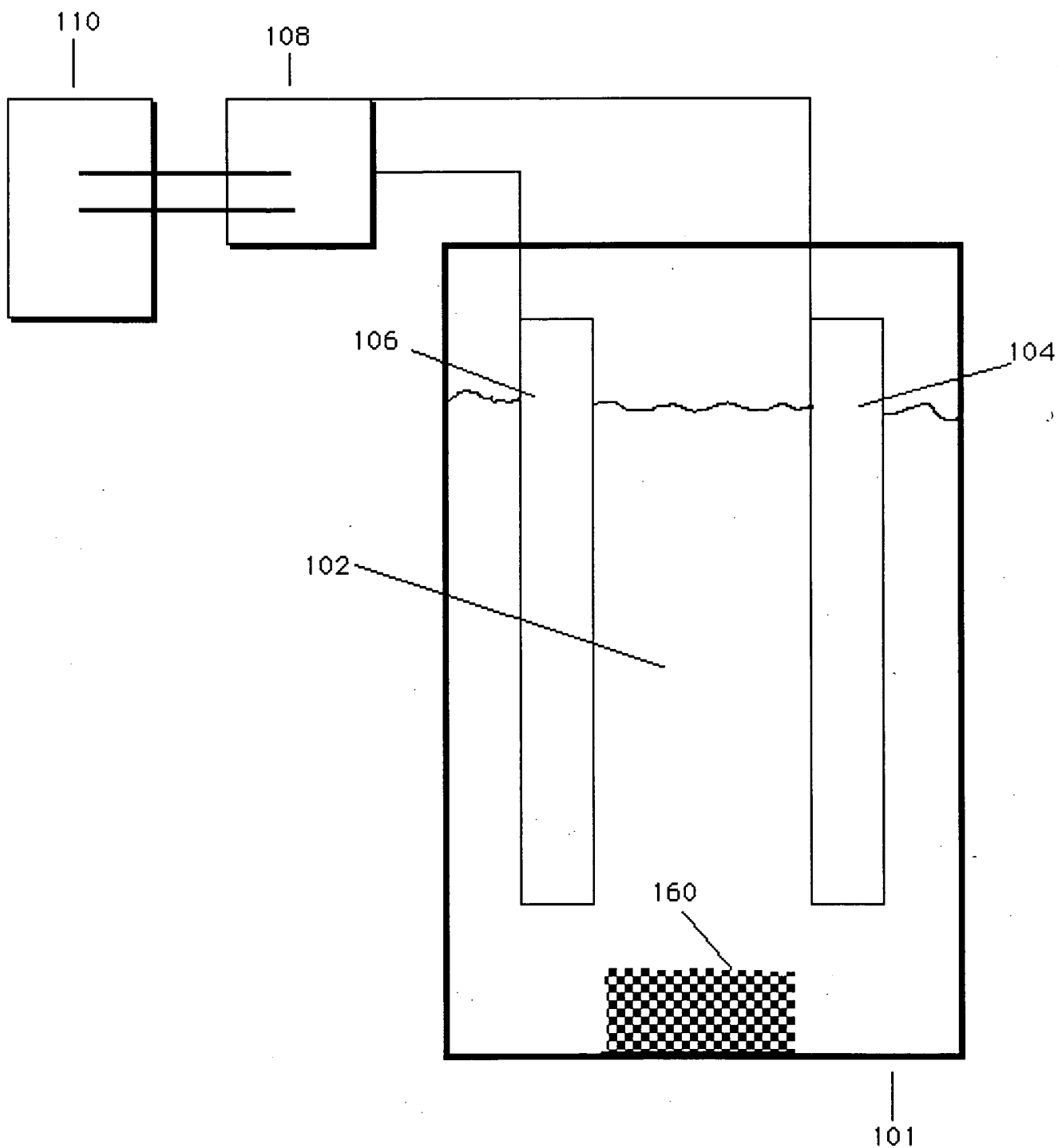


Fig. 3

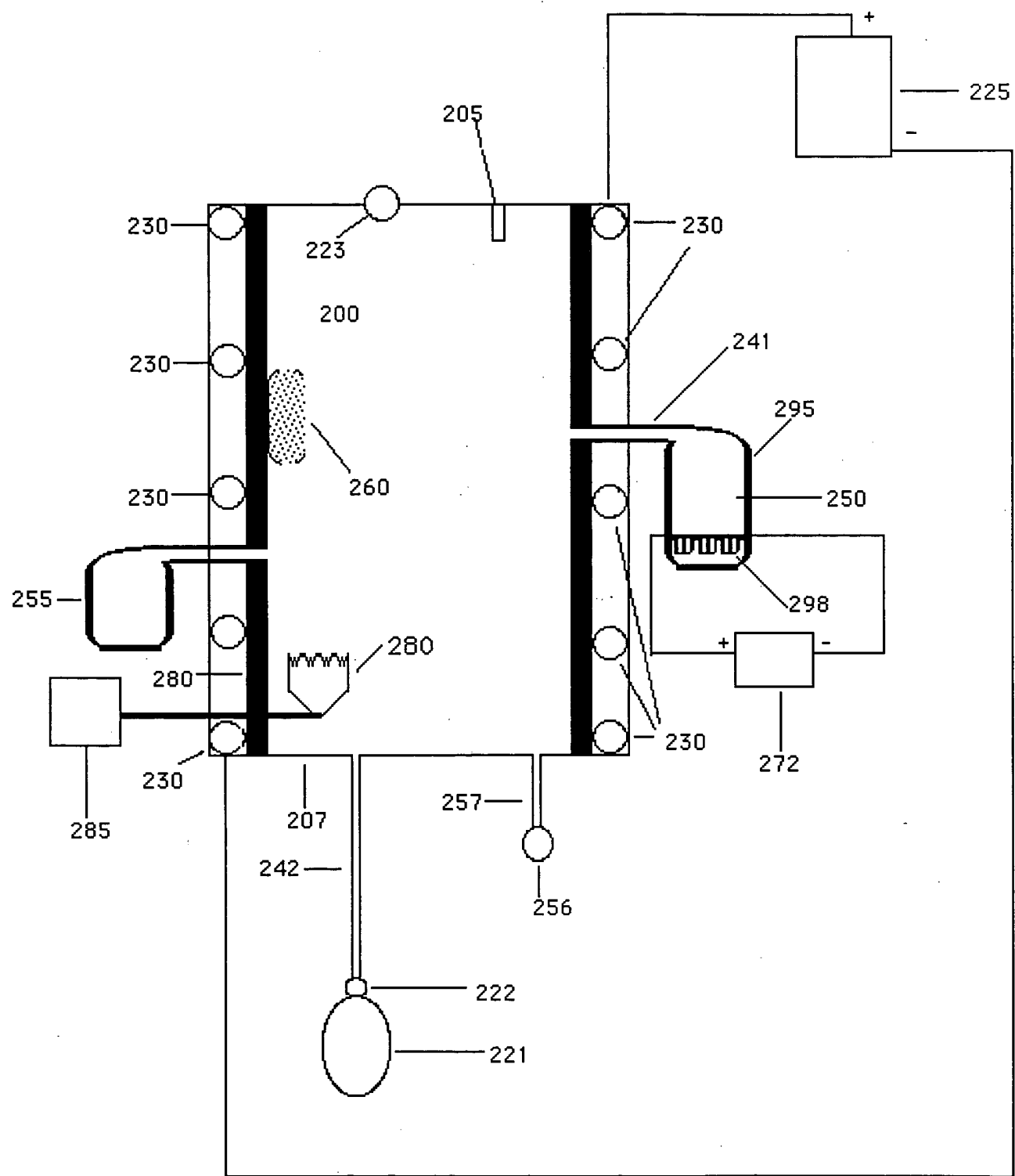


Fig. 4

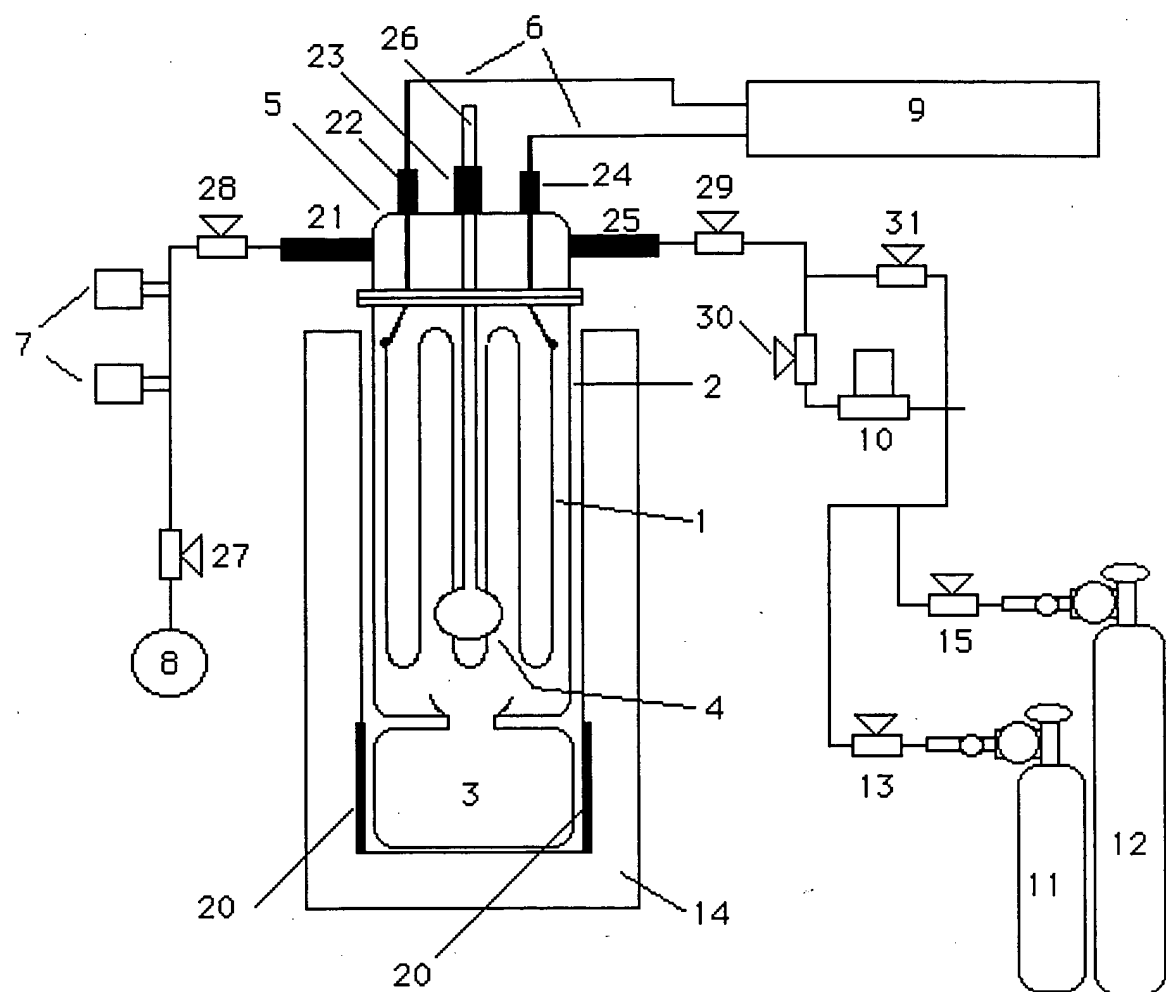


Fig. 5

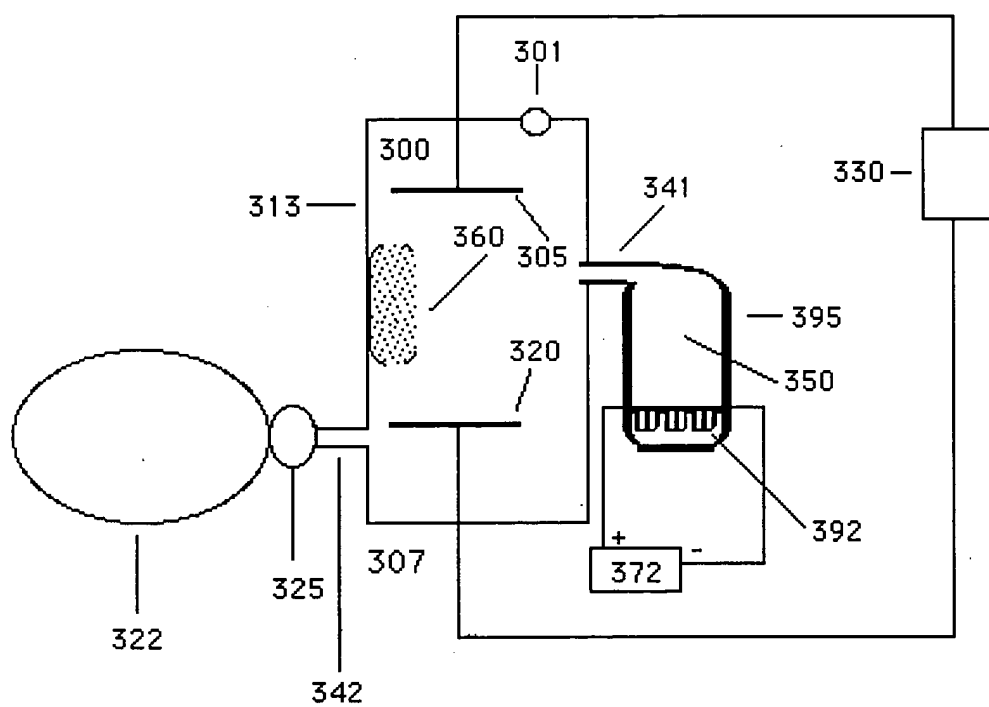


Fig. 6

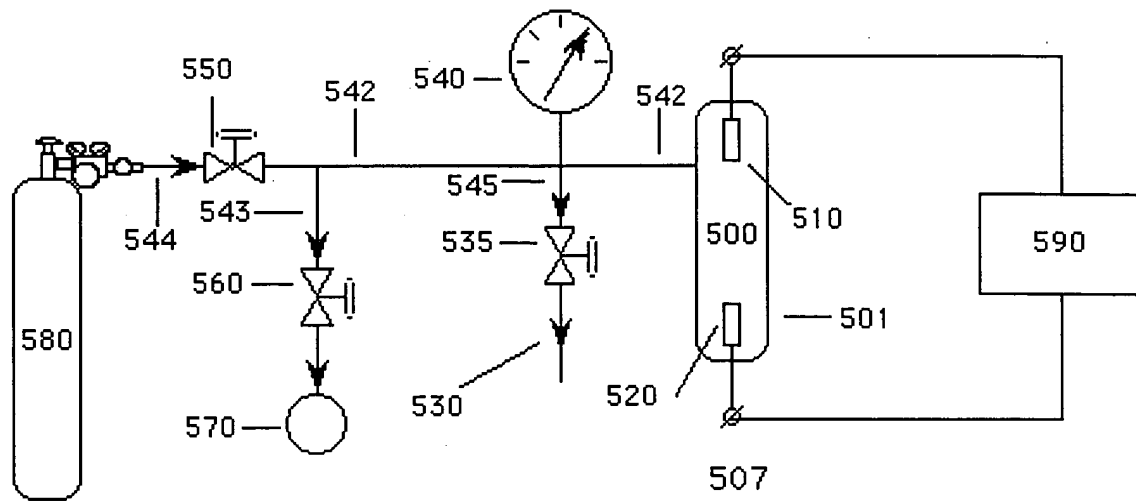


Fig. 7

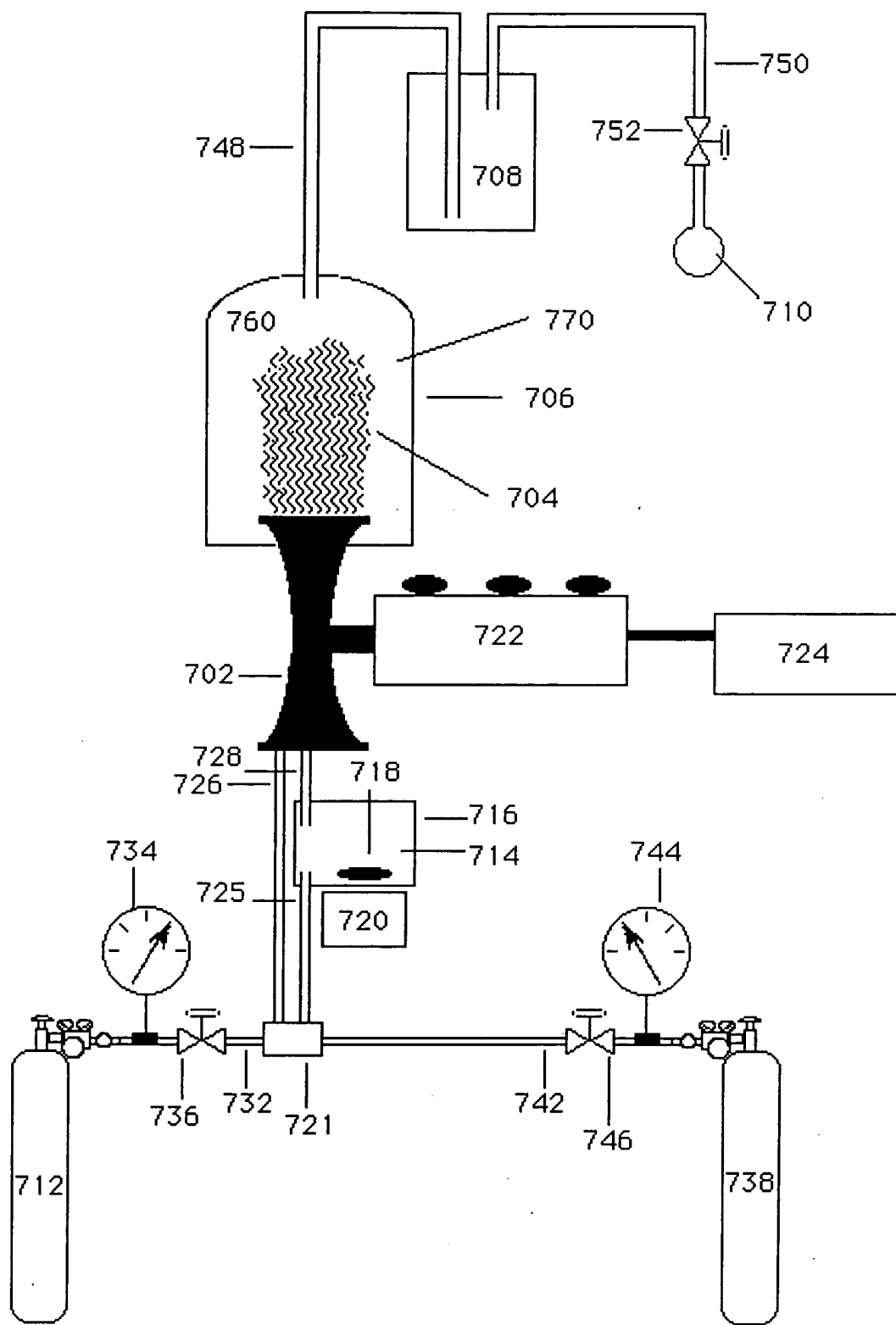


Fig. 7A

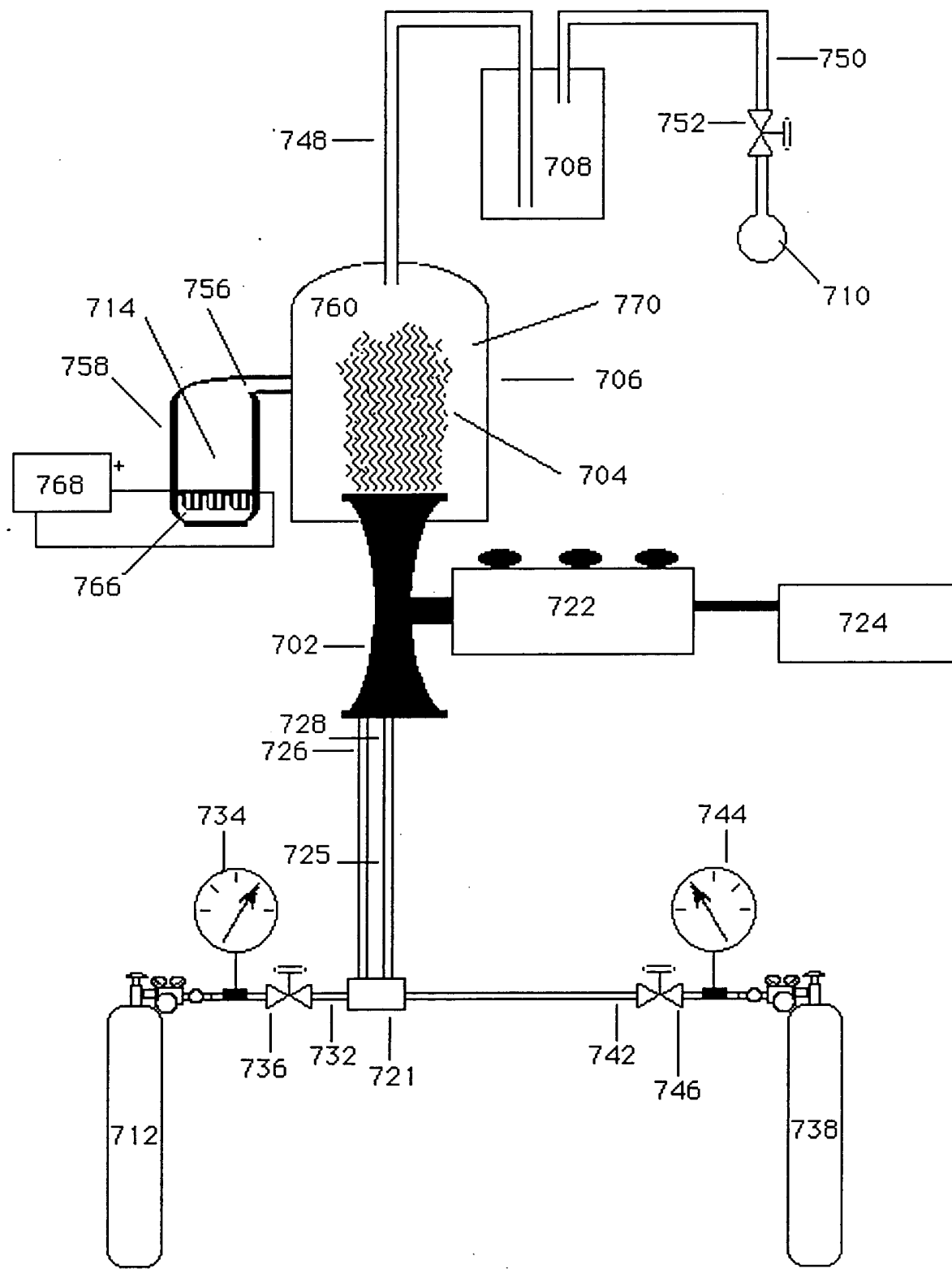


Fig. 8

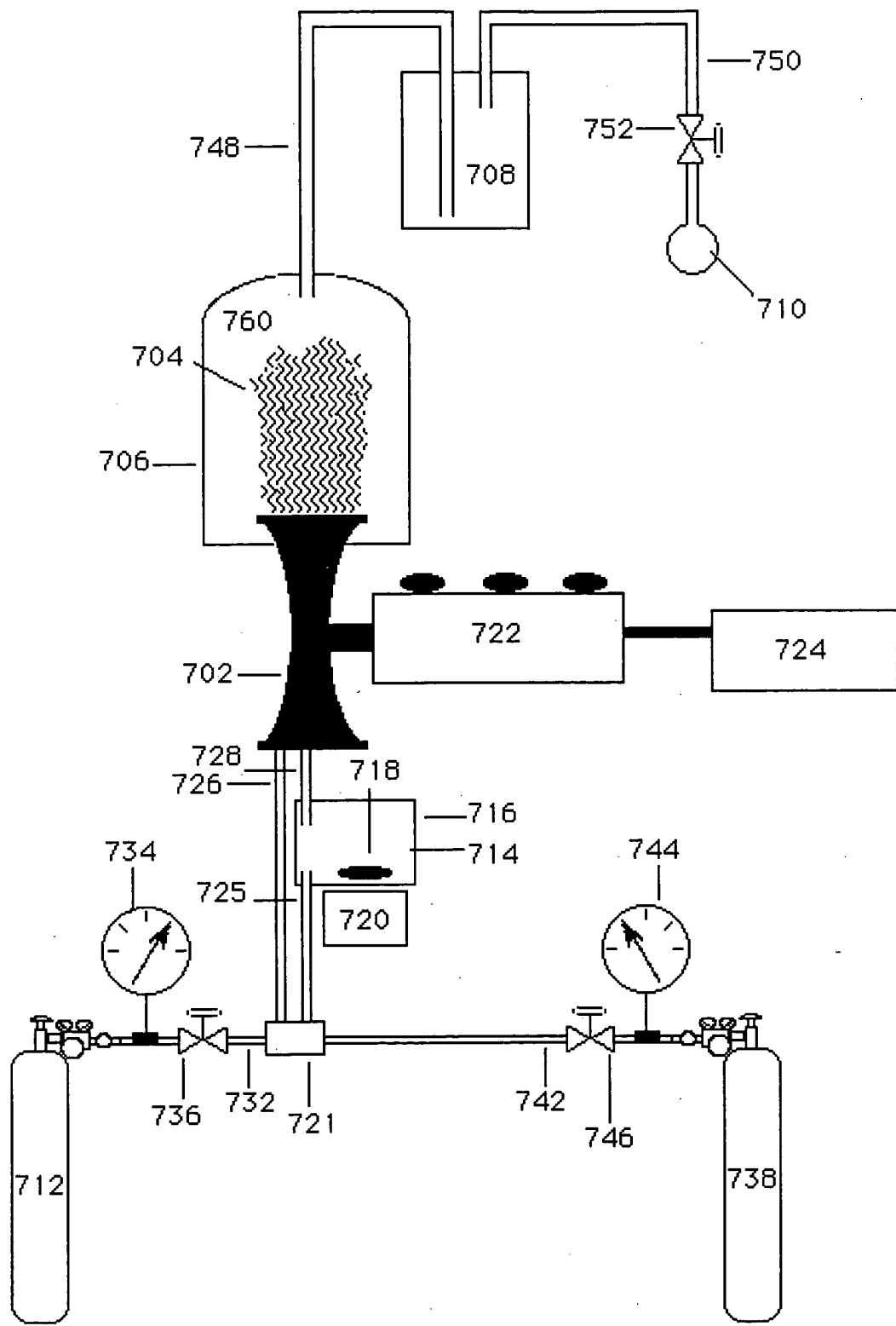


Fig. 9

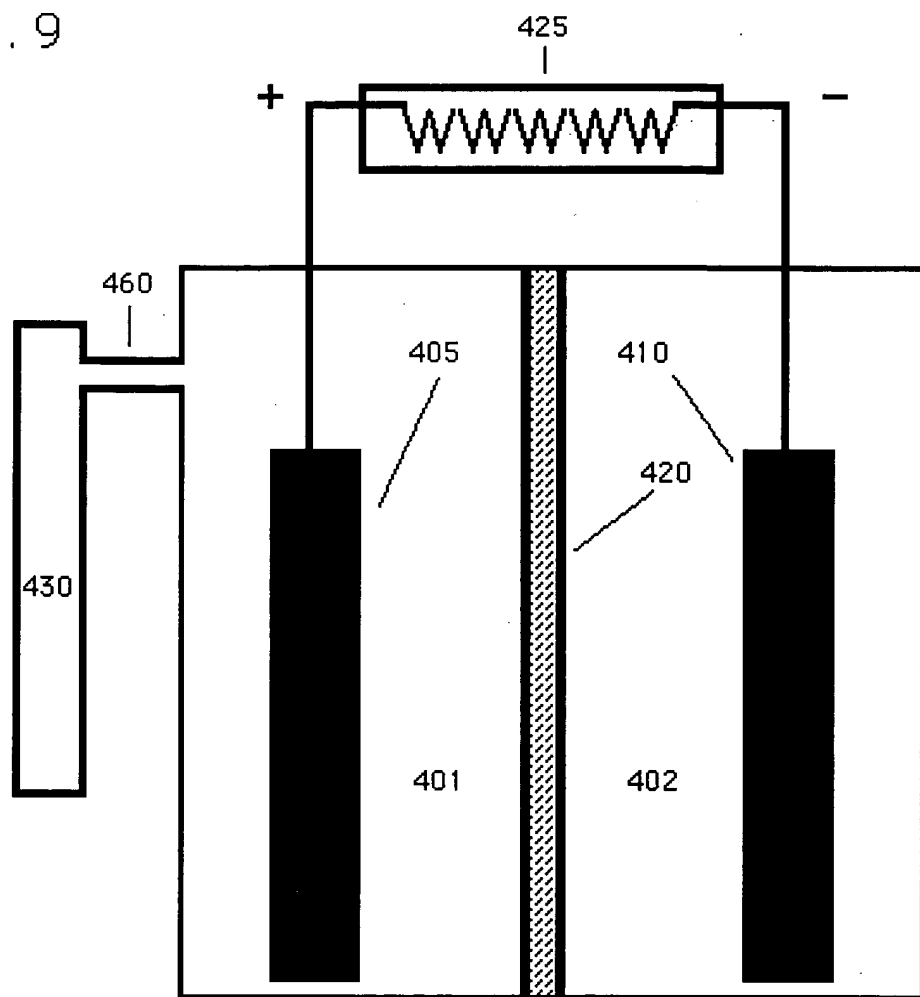


Fig. 10

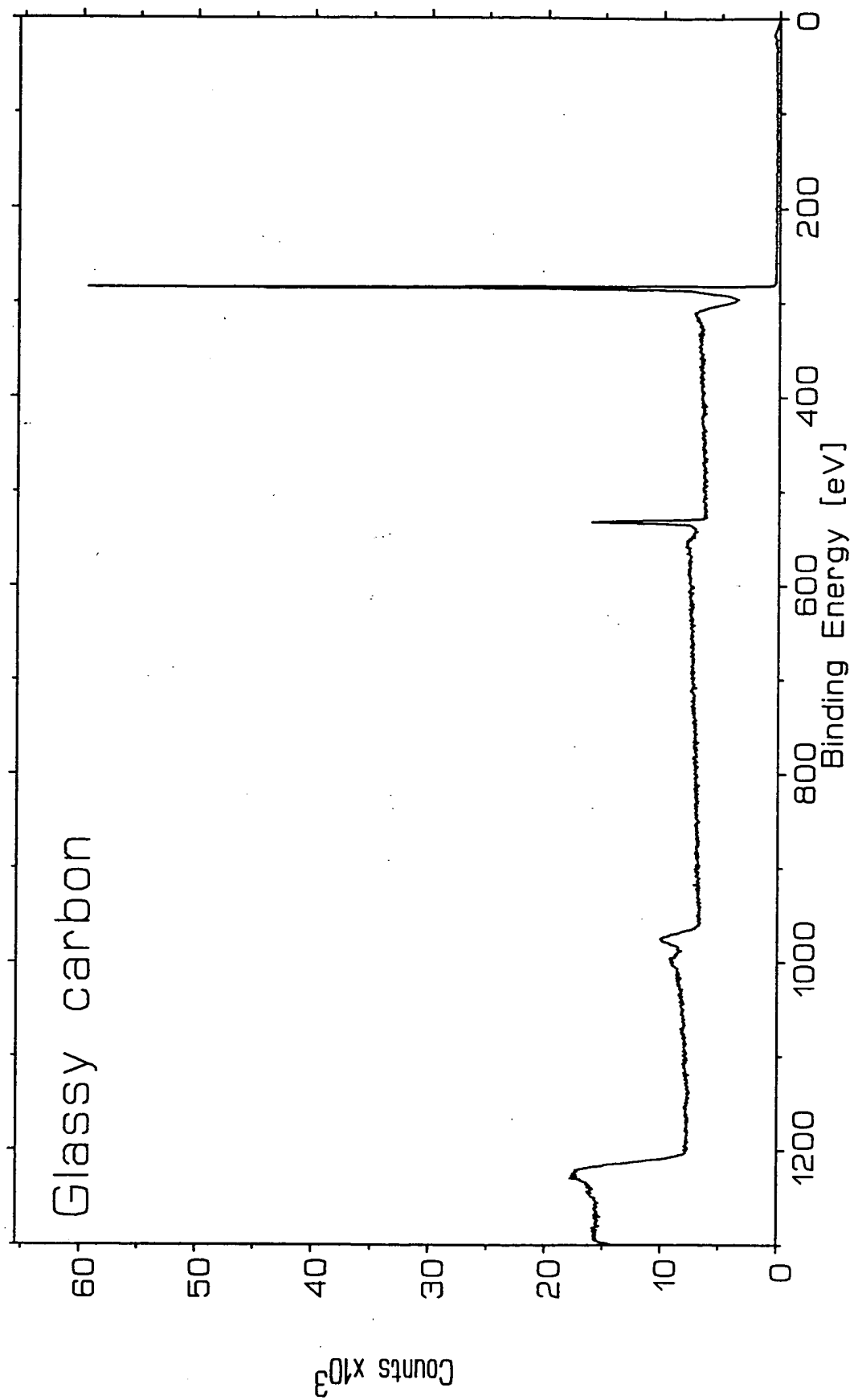


Fig. 11

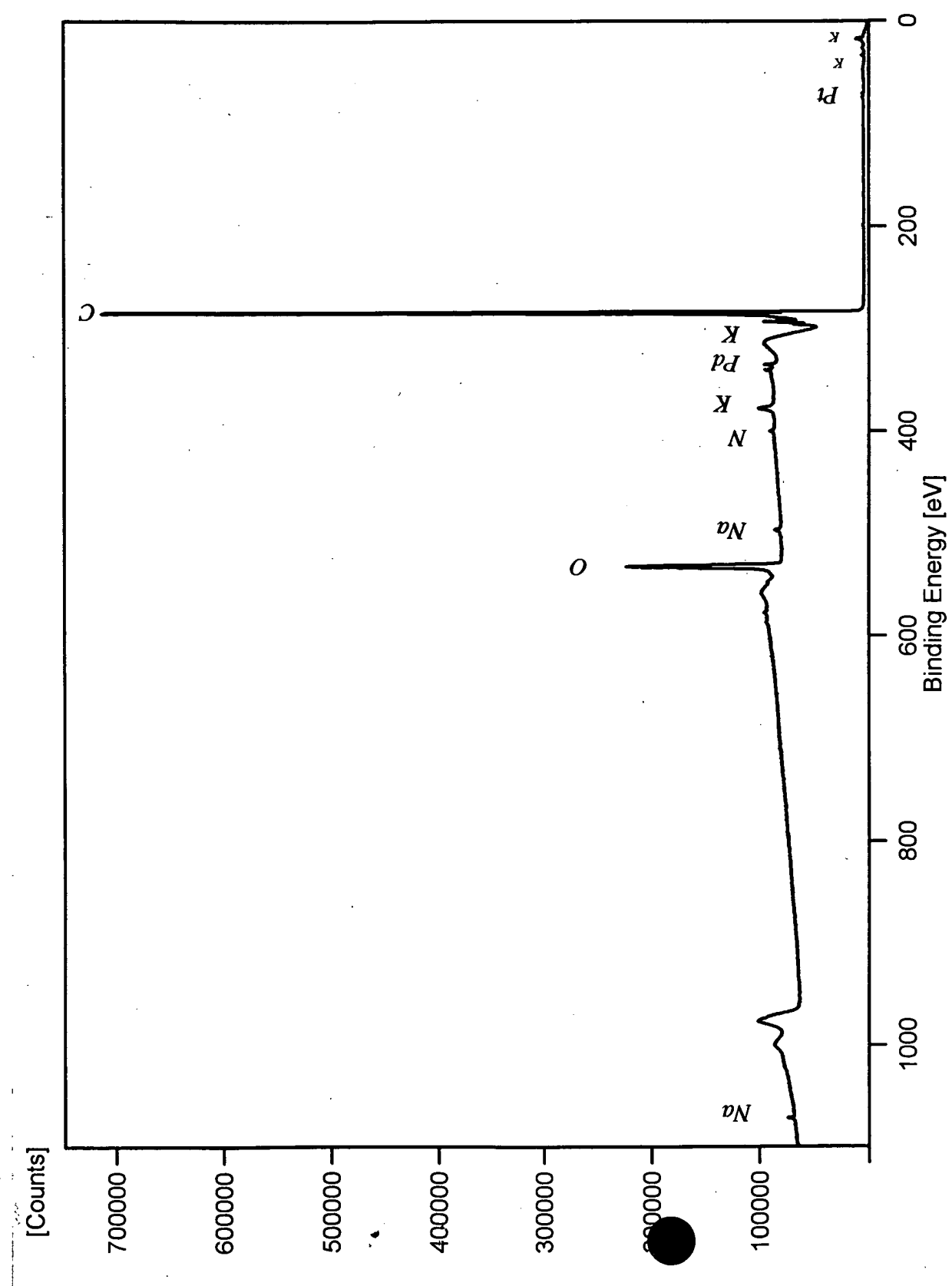


Fig. 12

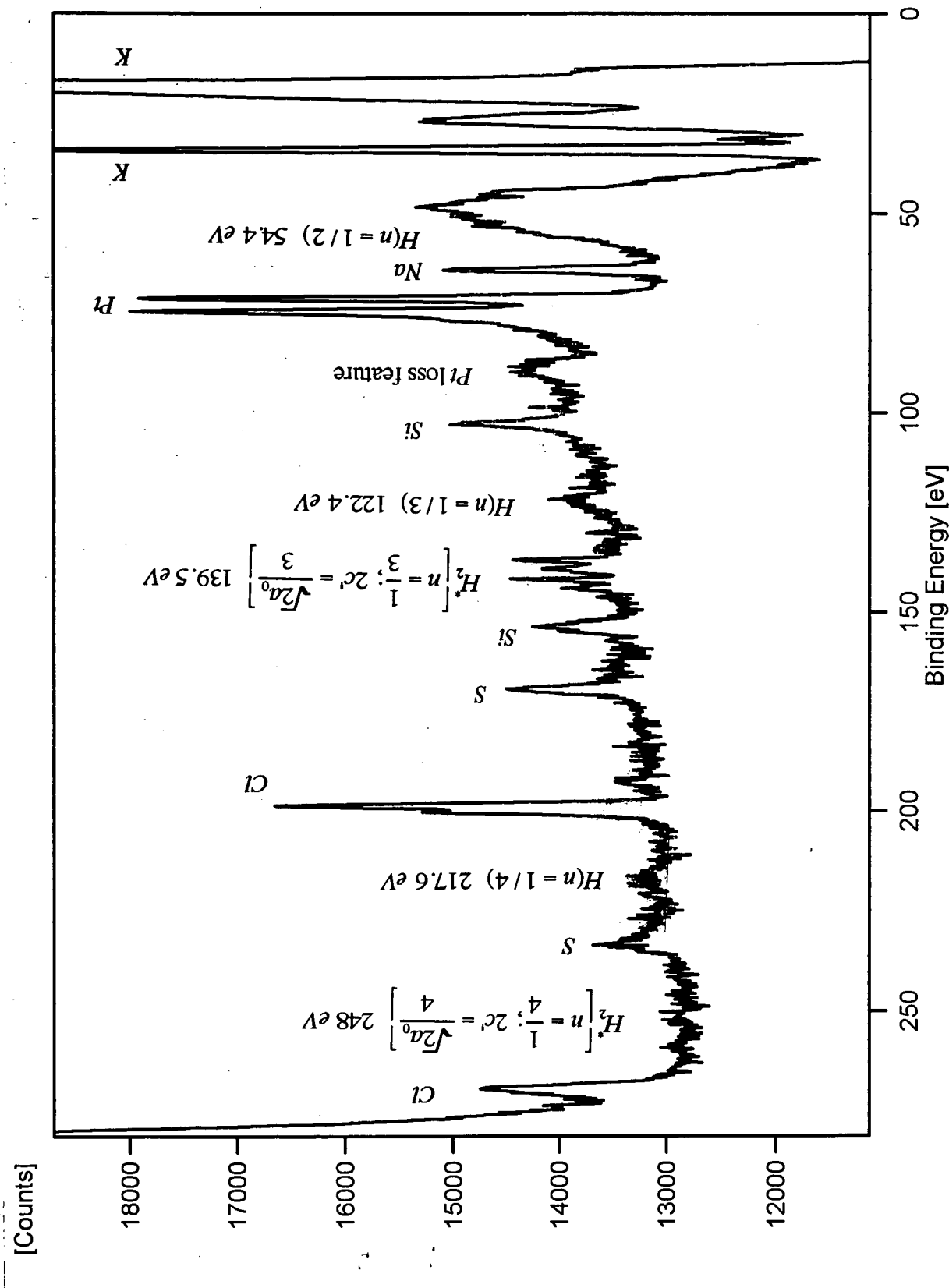


Fig. 13

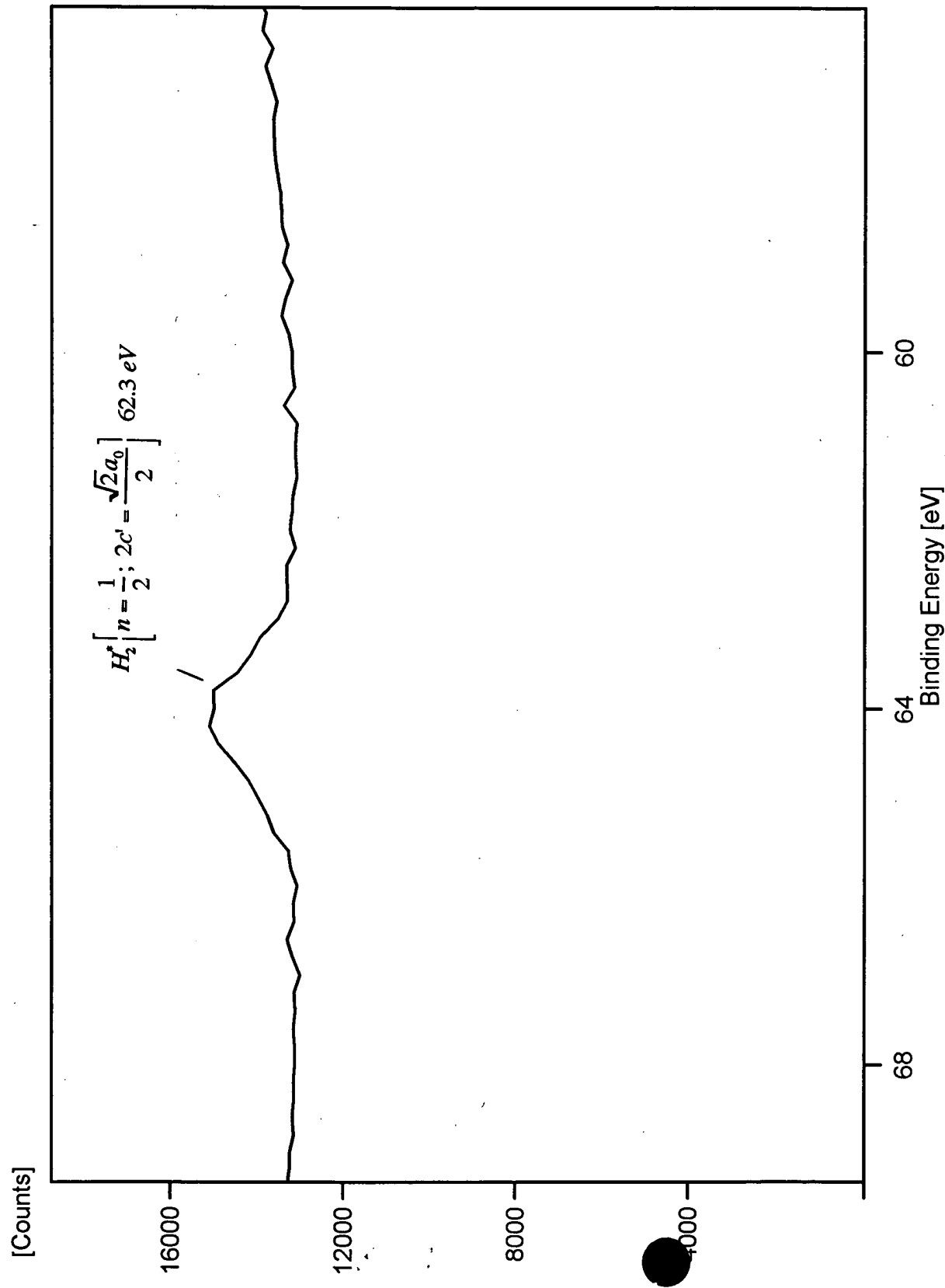
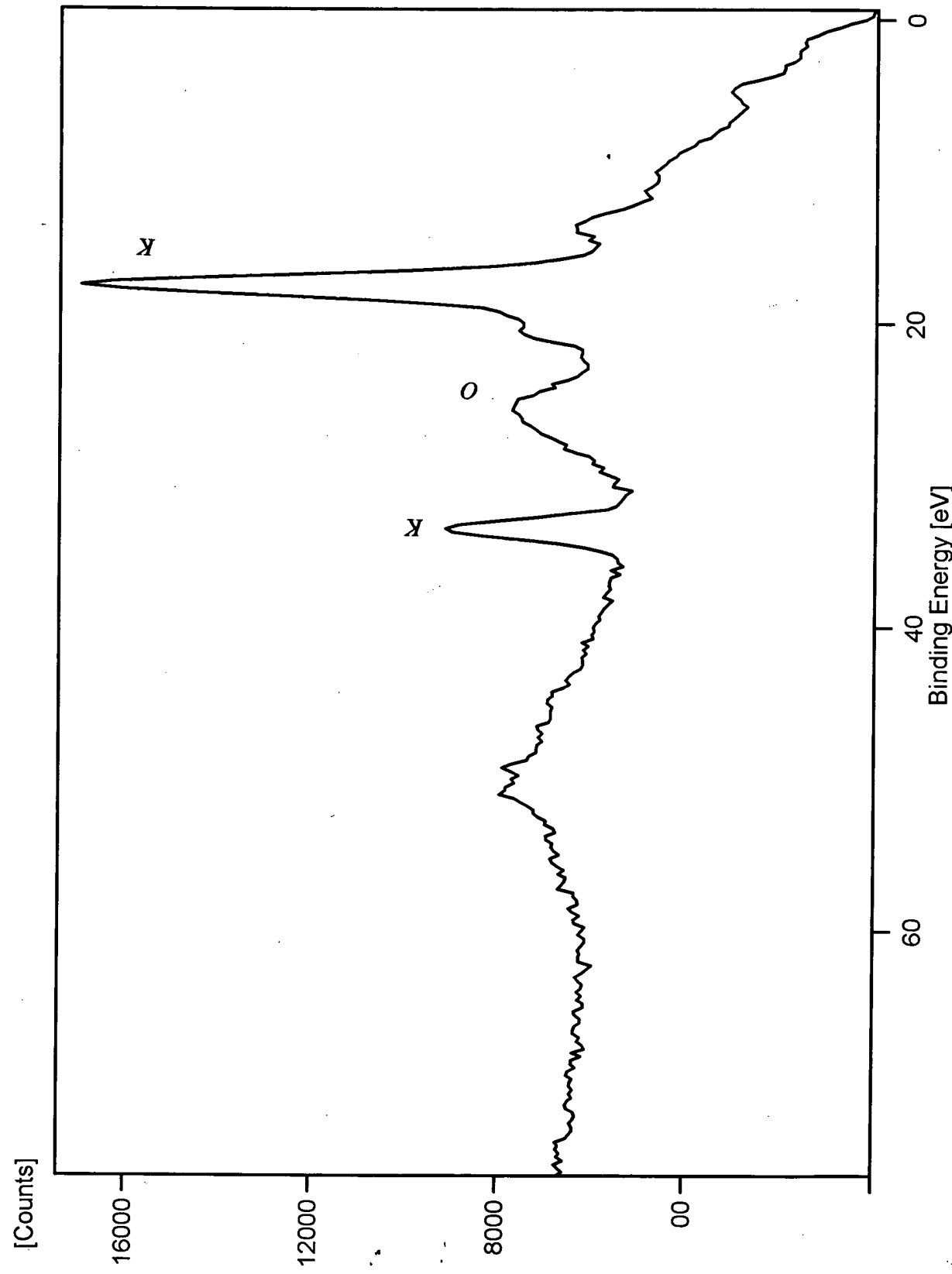


Fig. 14



0 20 40 60
Binding Energy [eV]

Fig. 15

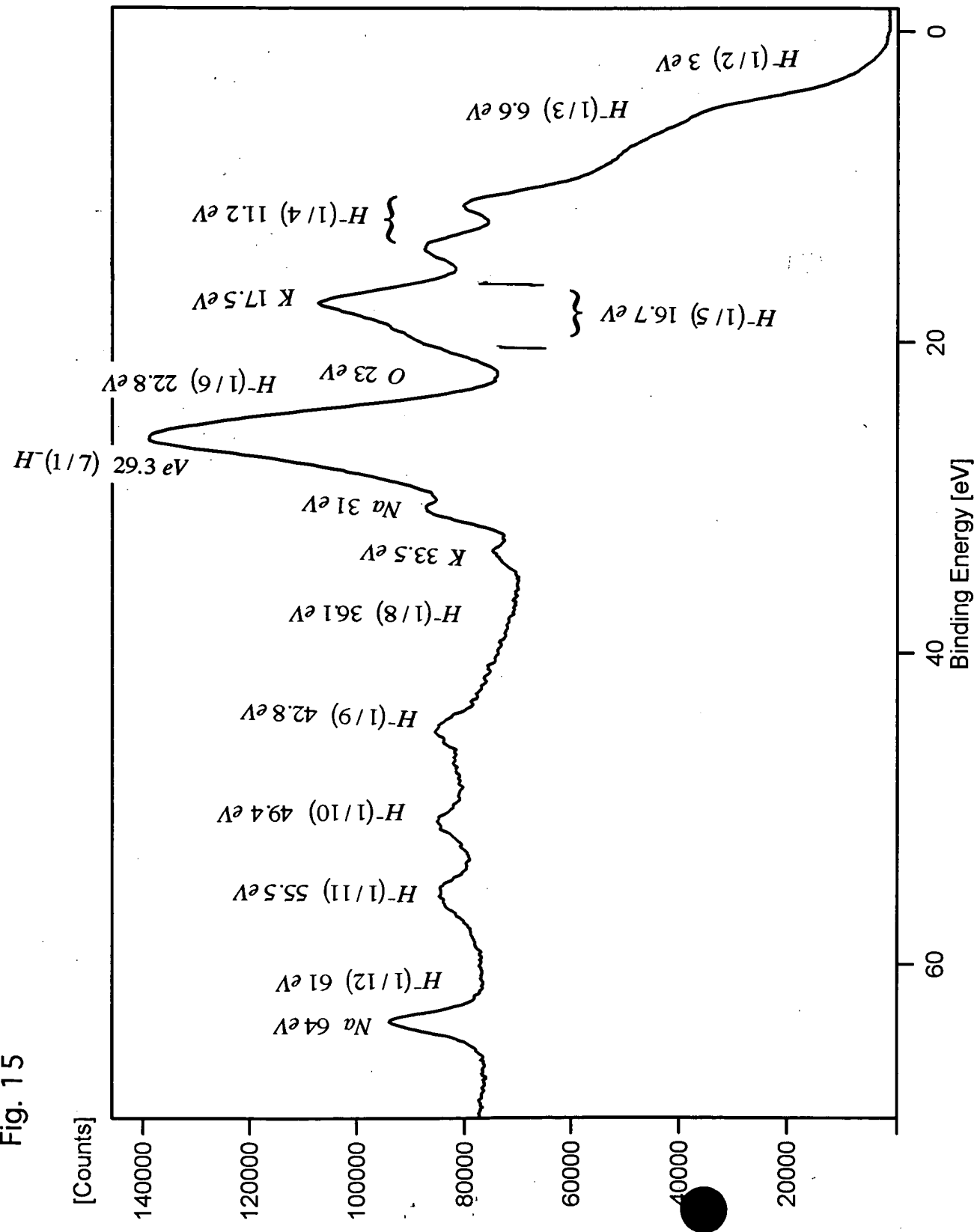


Fig. 16

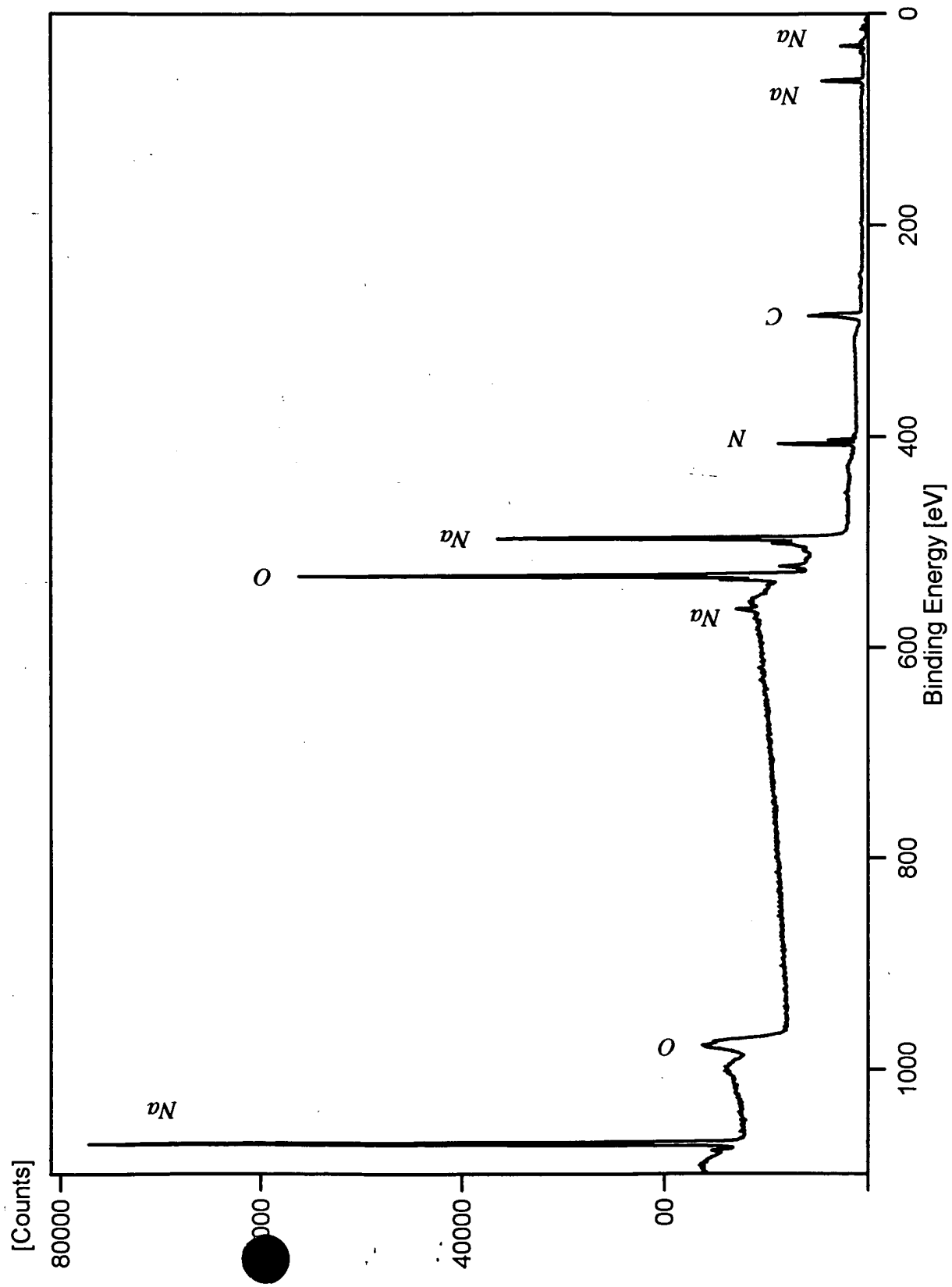


Fig. 17

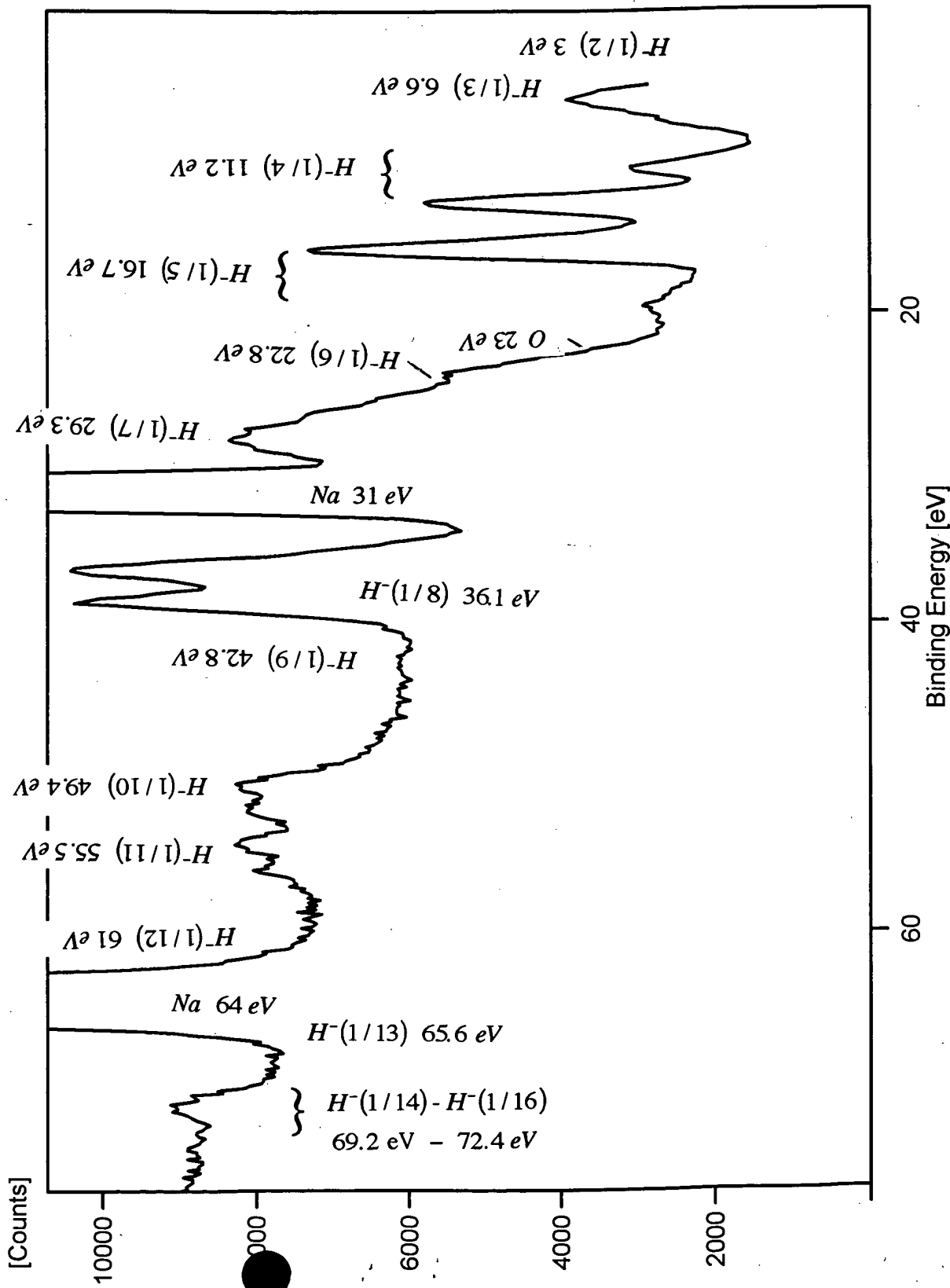


Fig. 18

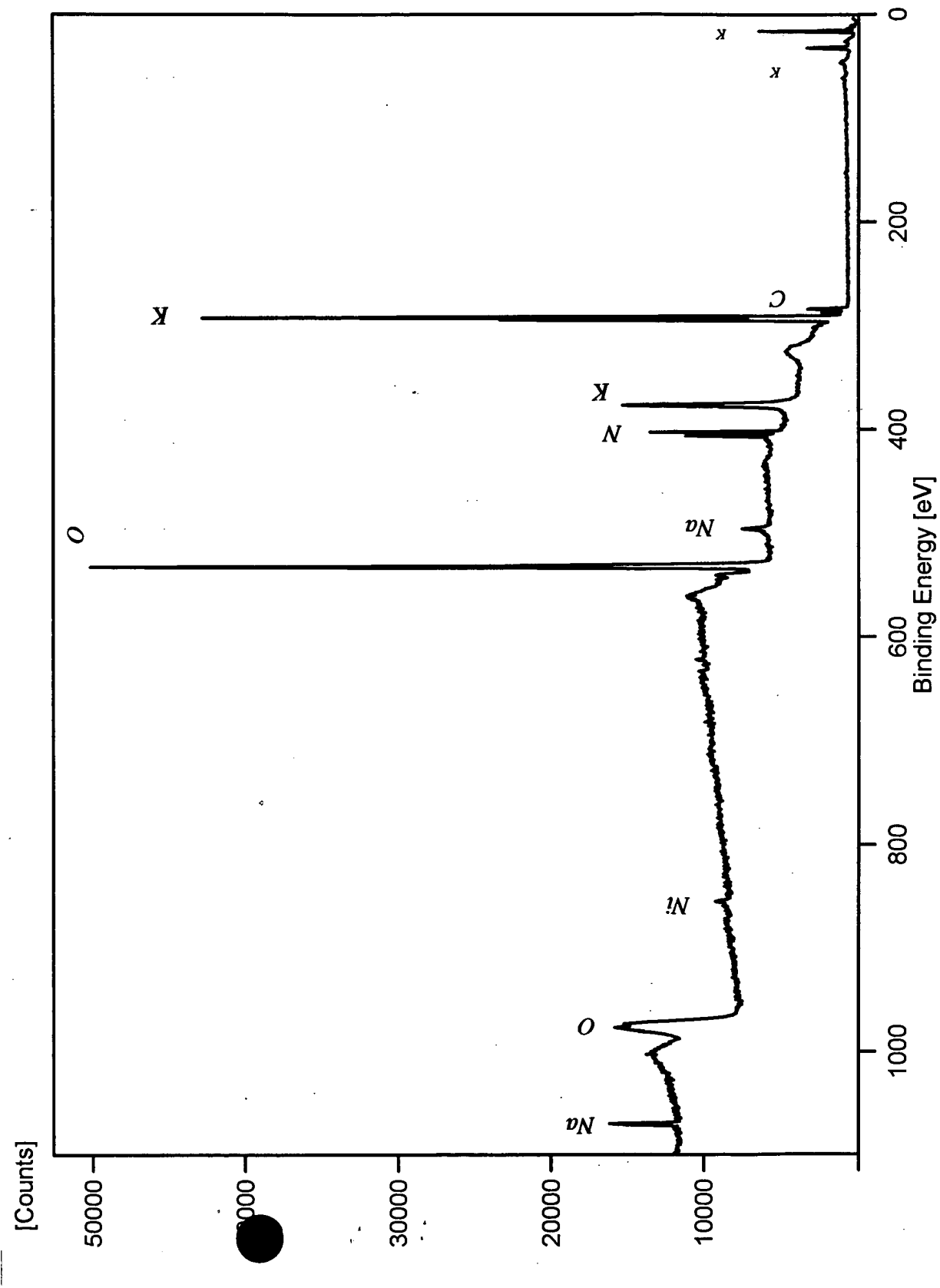


Fig. 19

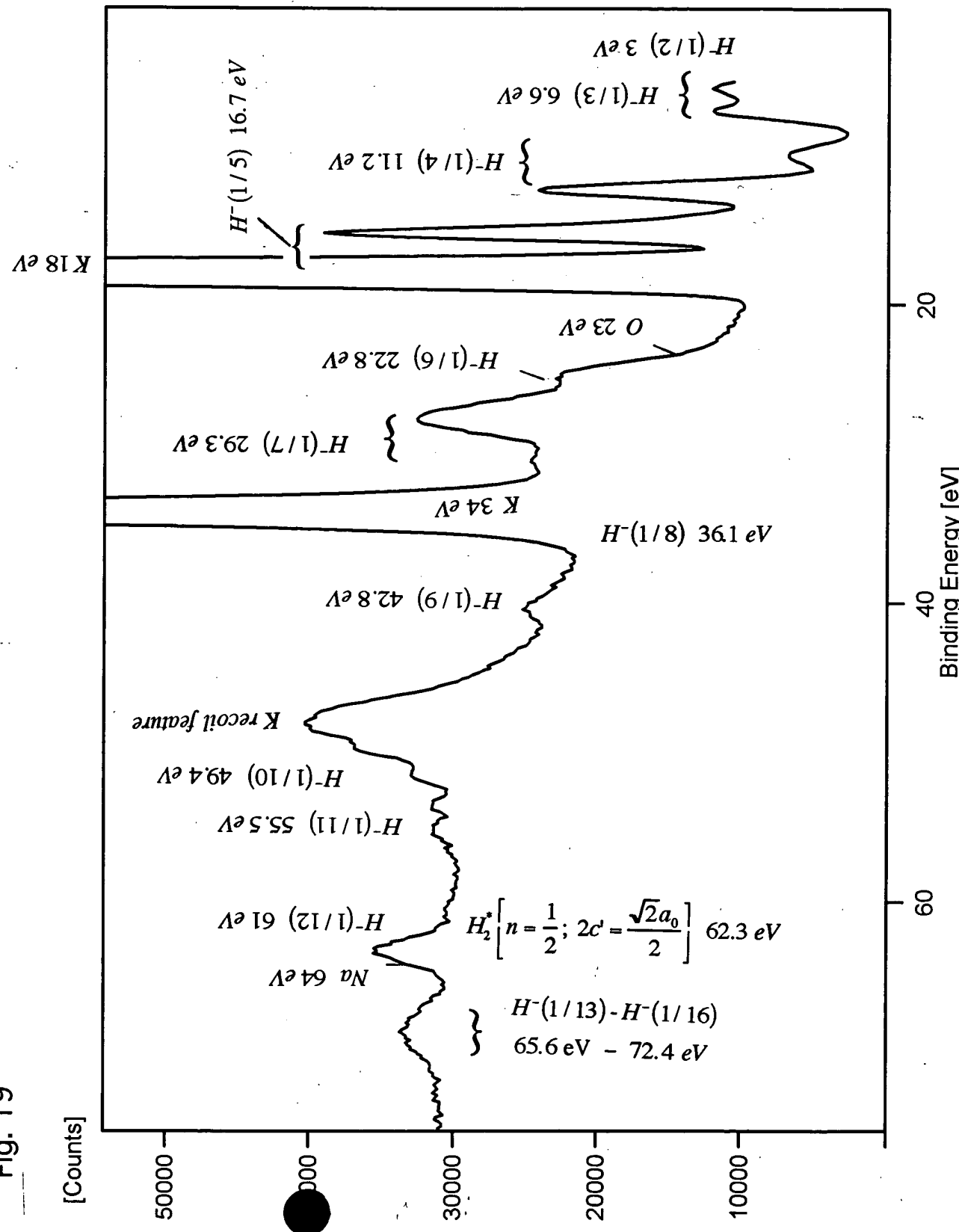
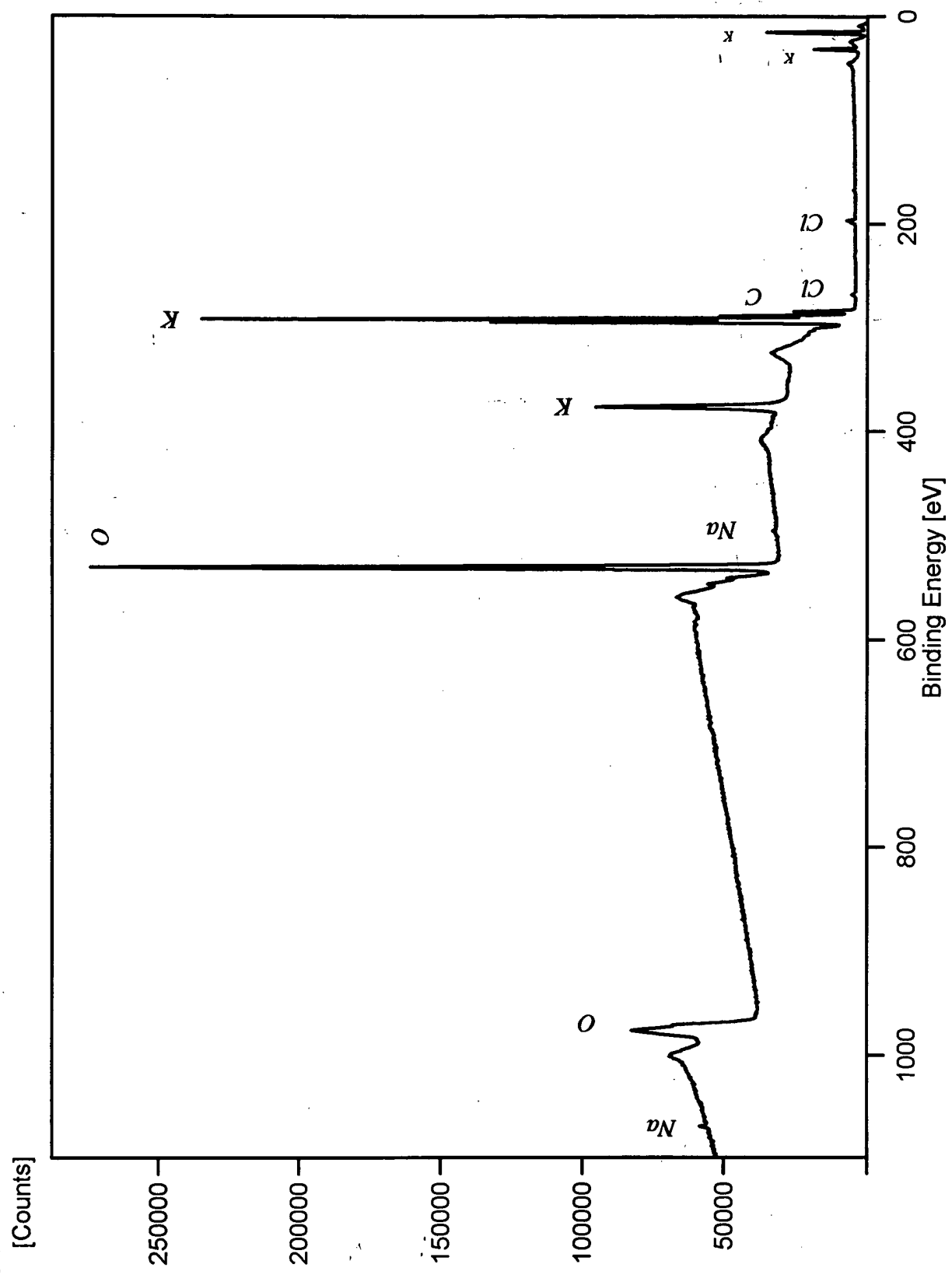


Fig. 20



© 2024 DODGE

Fig. 21

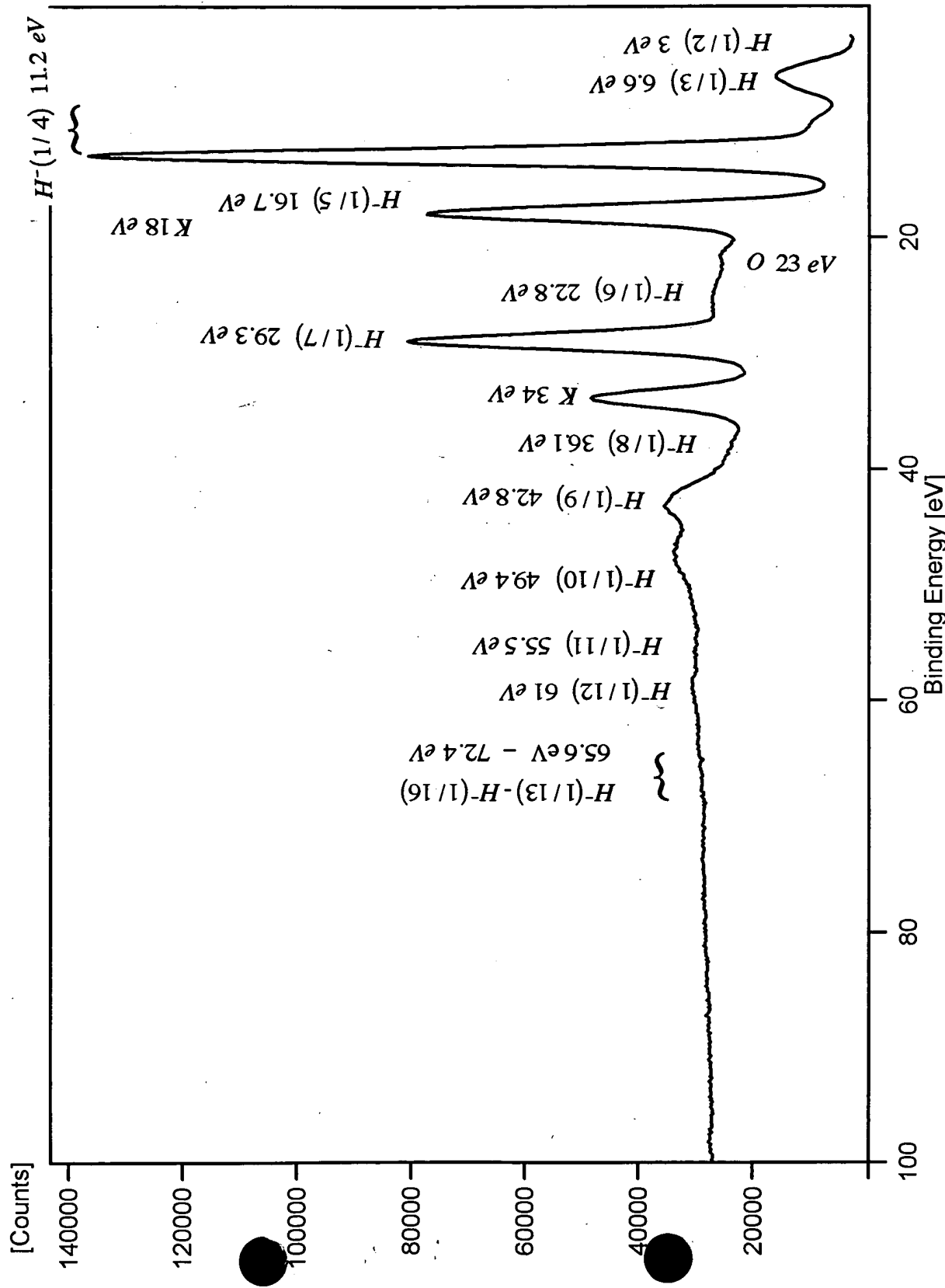
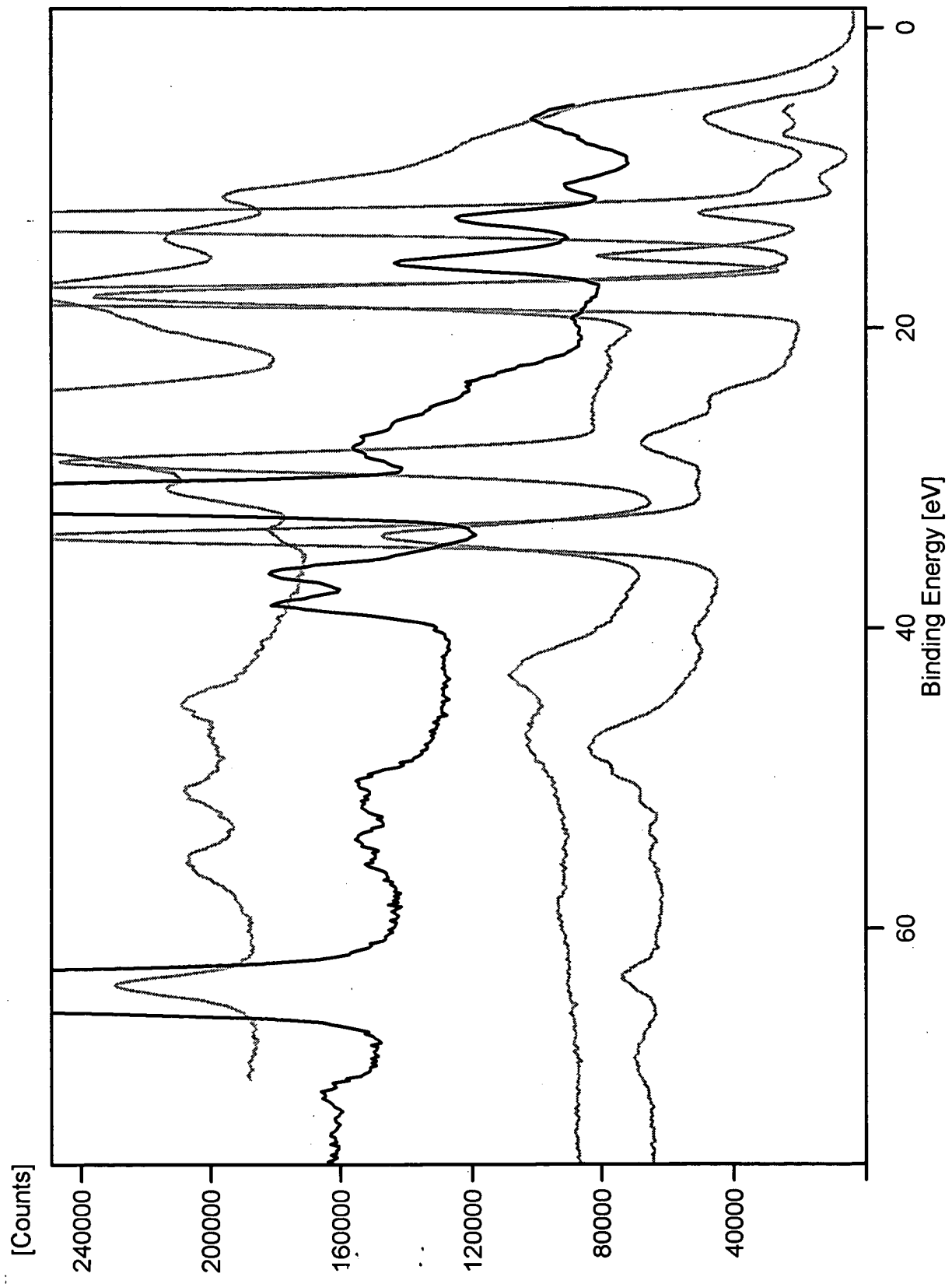


Fig. 22



© 2003 Kluwer
All rights reserved.

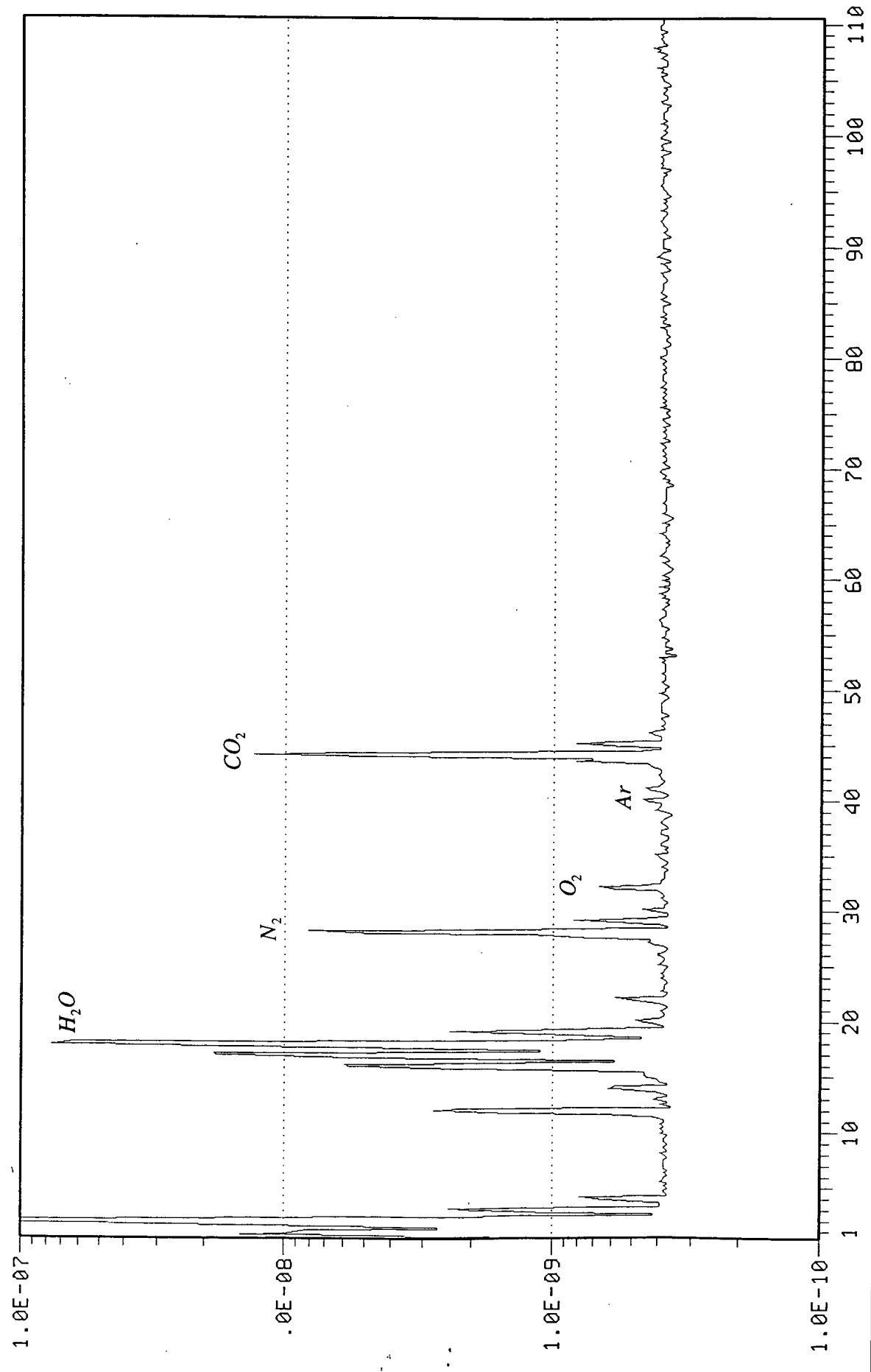


Fig. 23

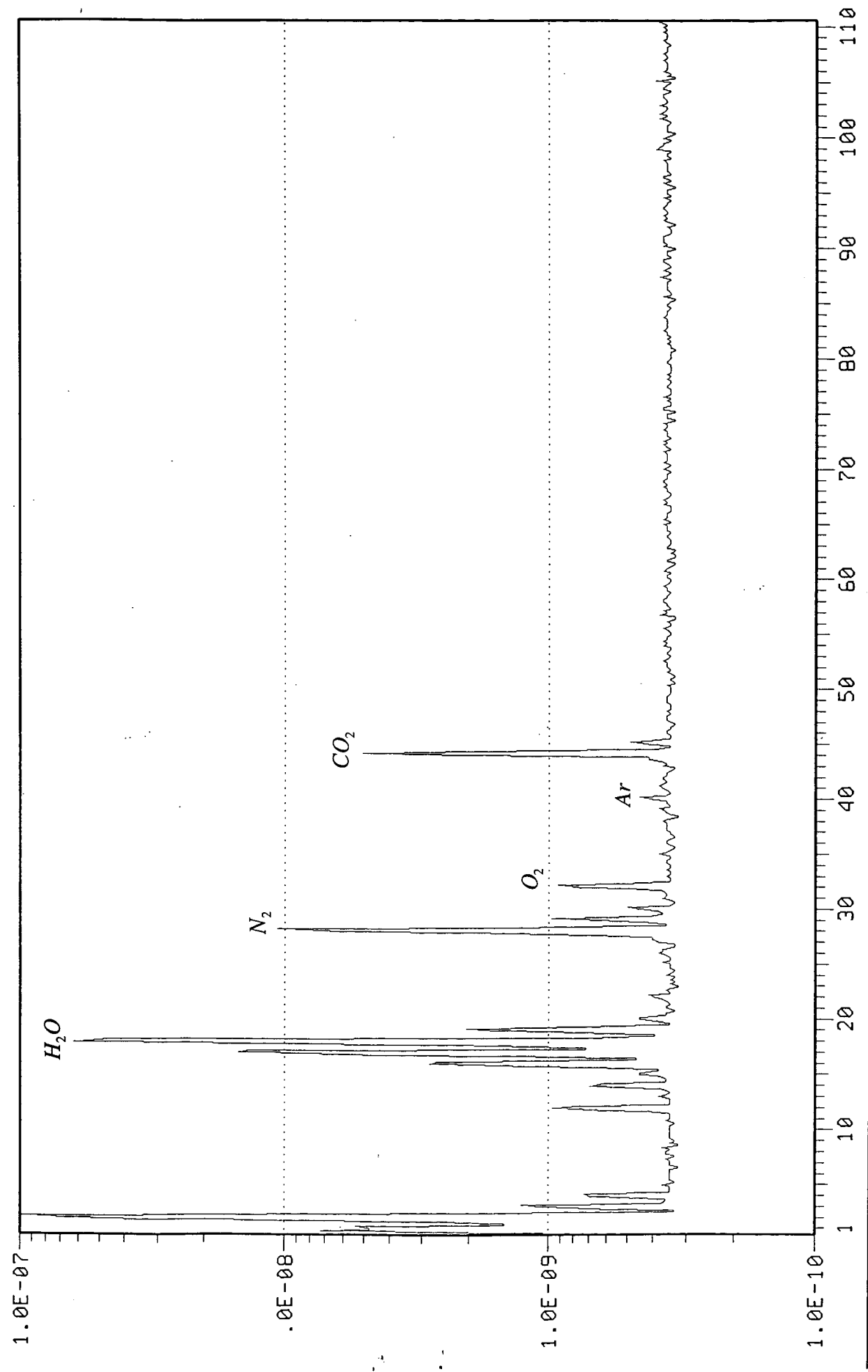


Fig. 24

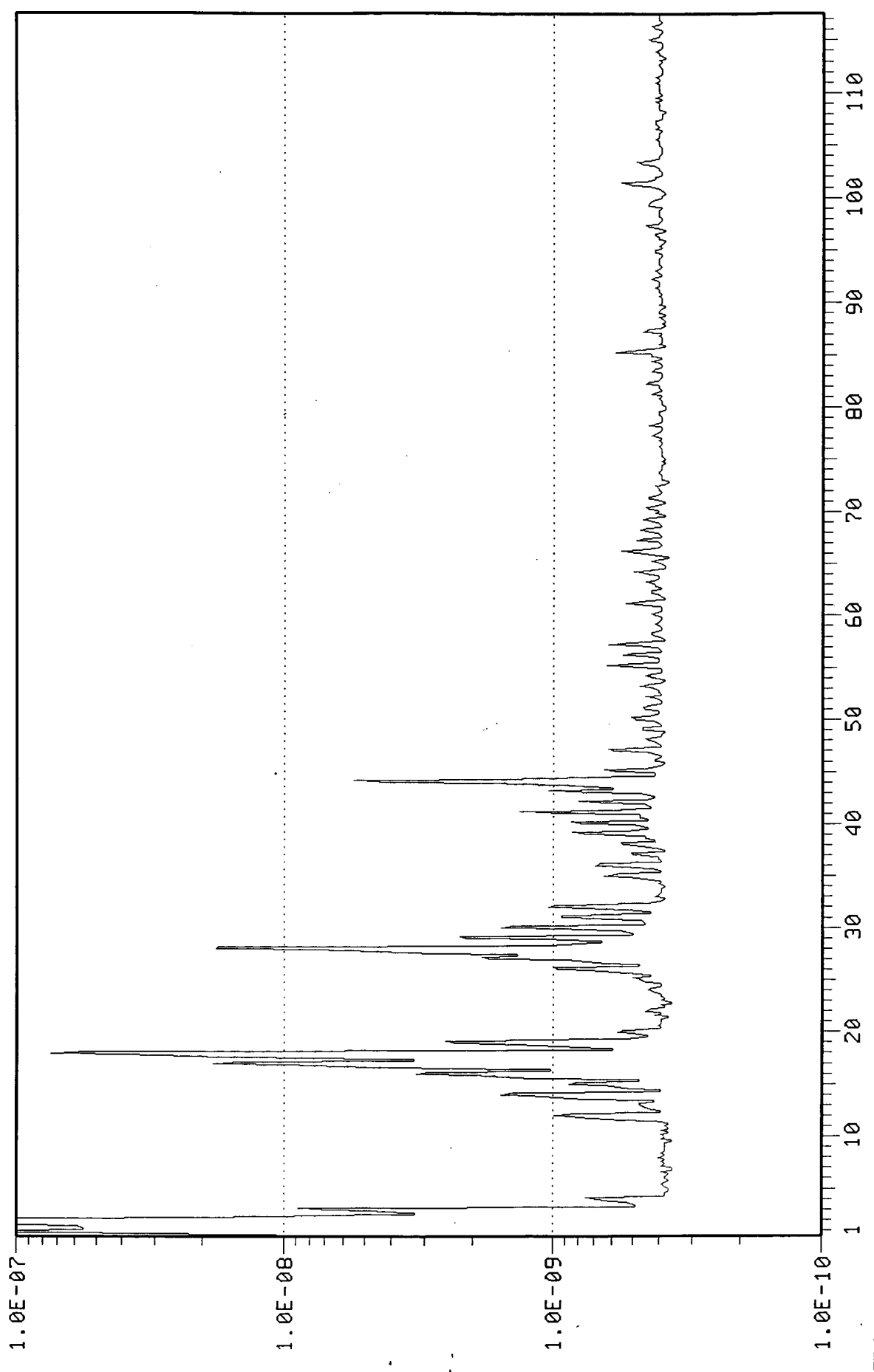


Fig. 25

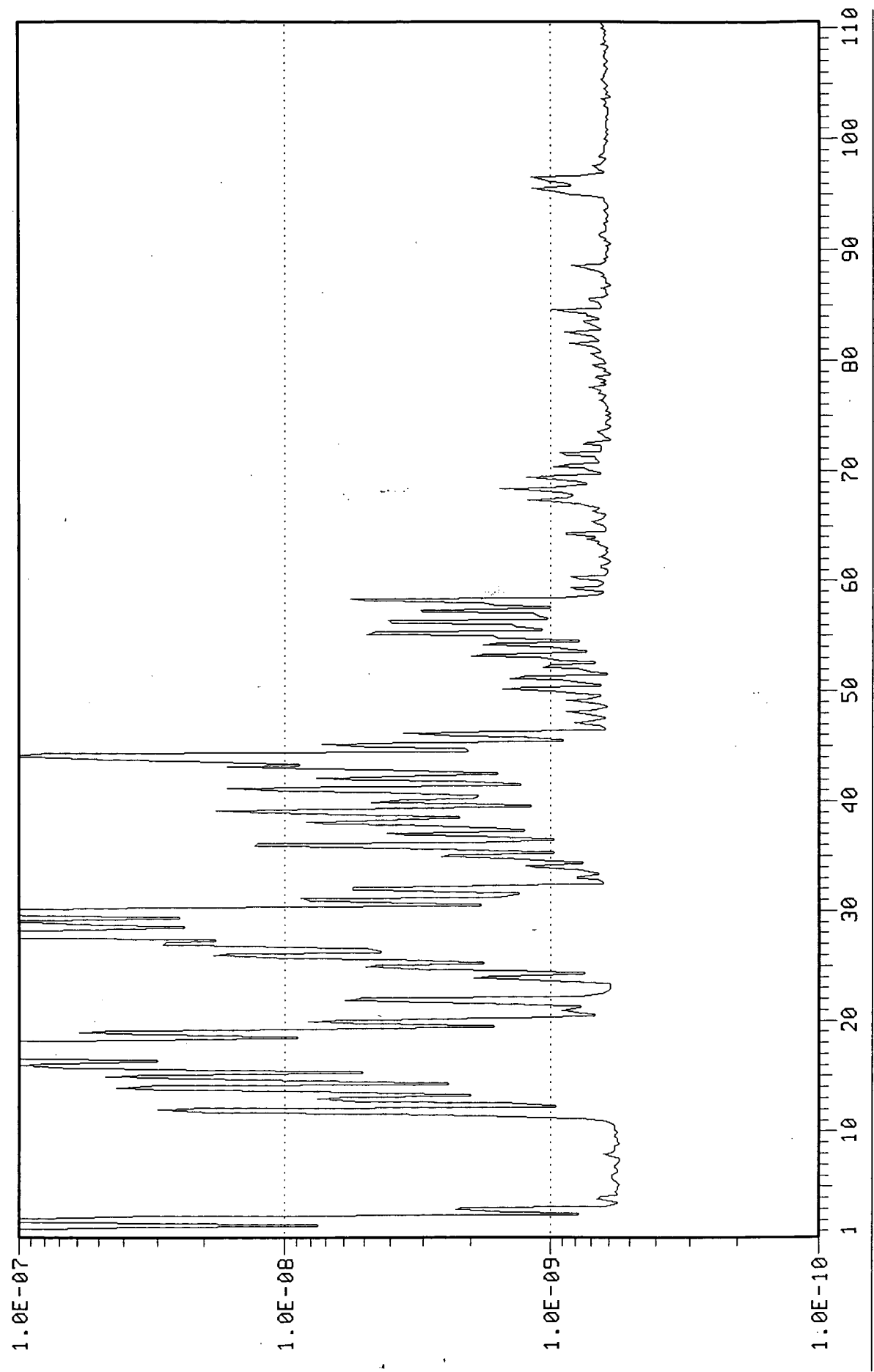


Fig. 26

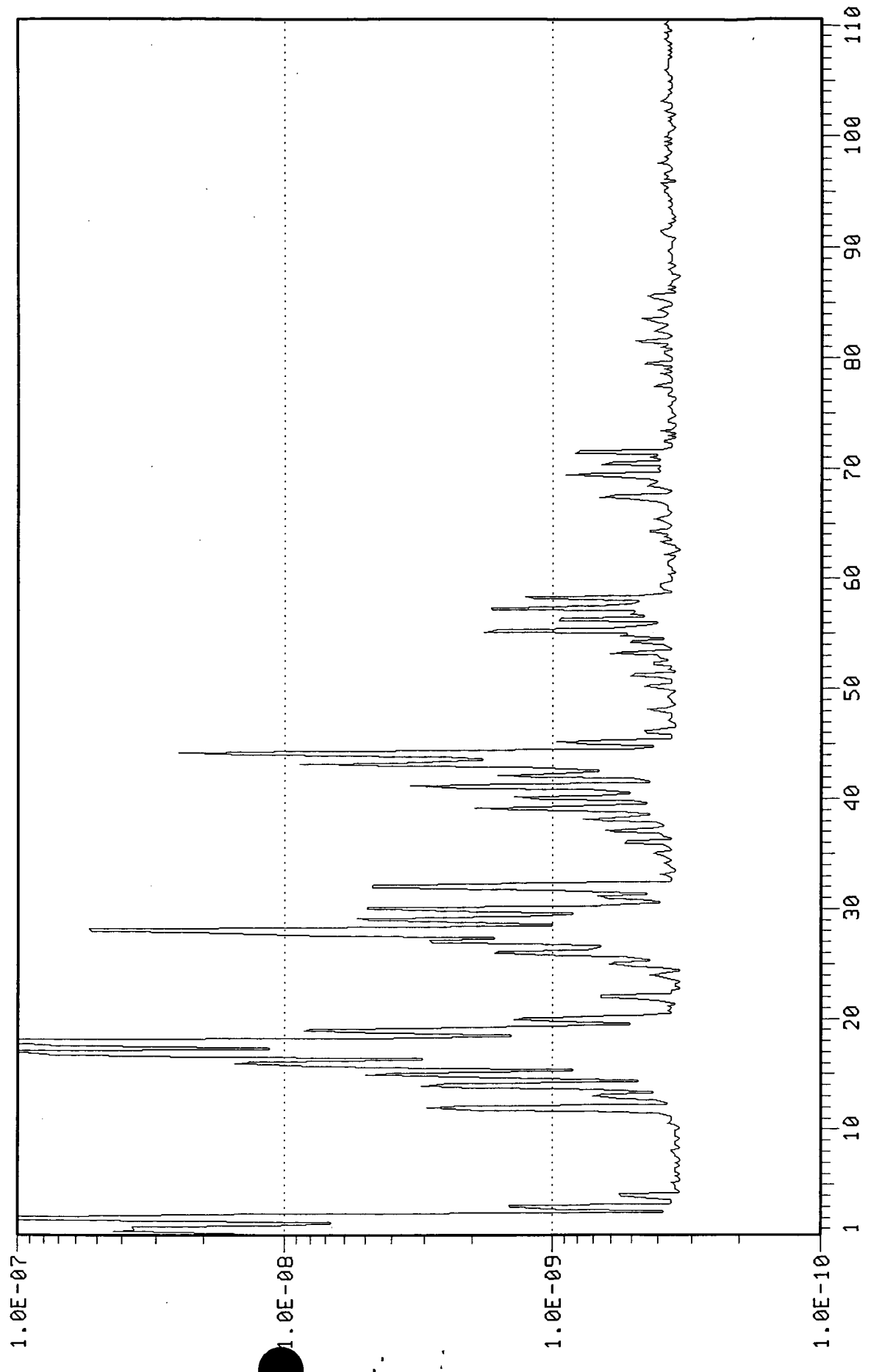


Fig. 27

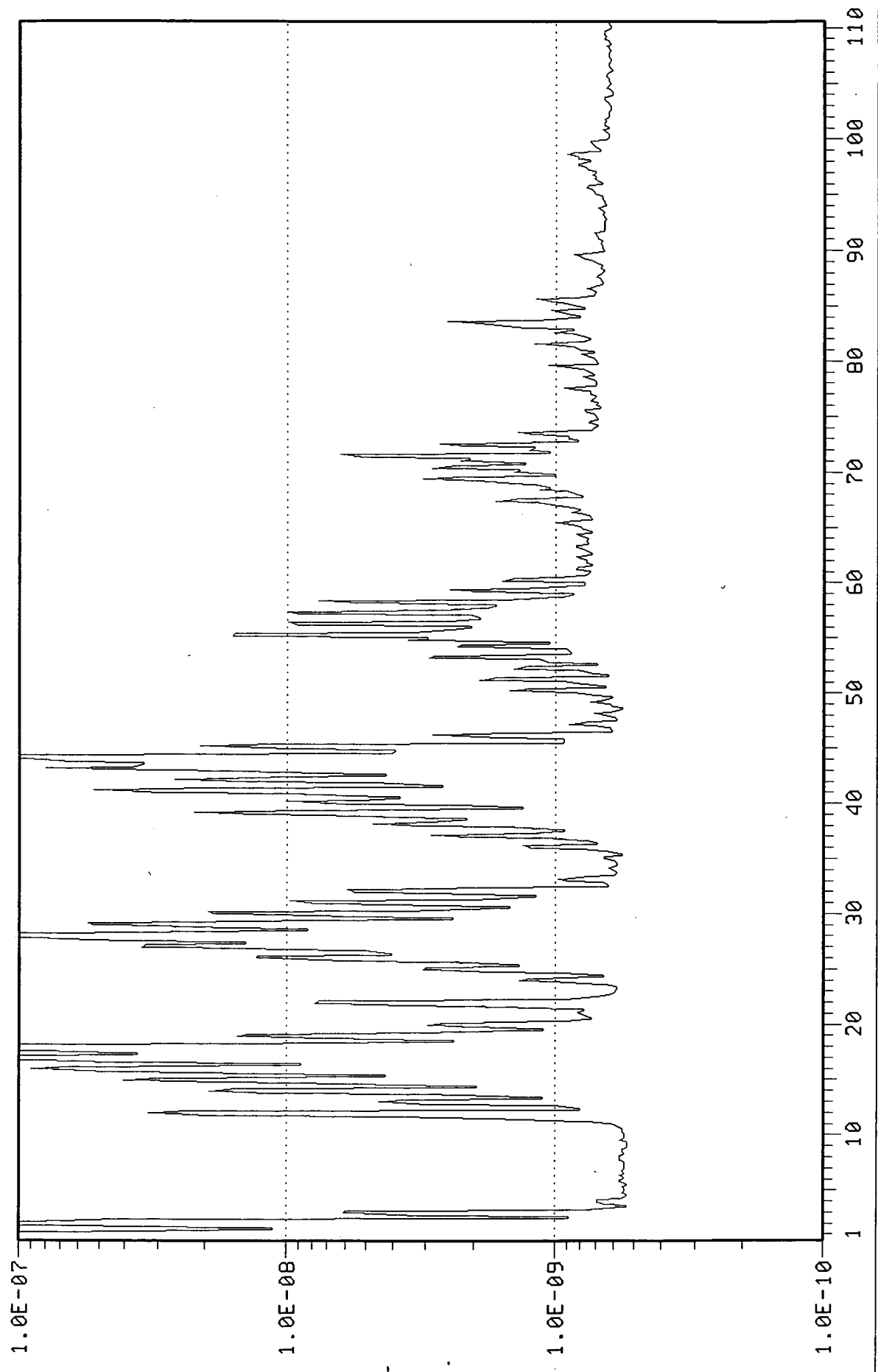
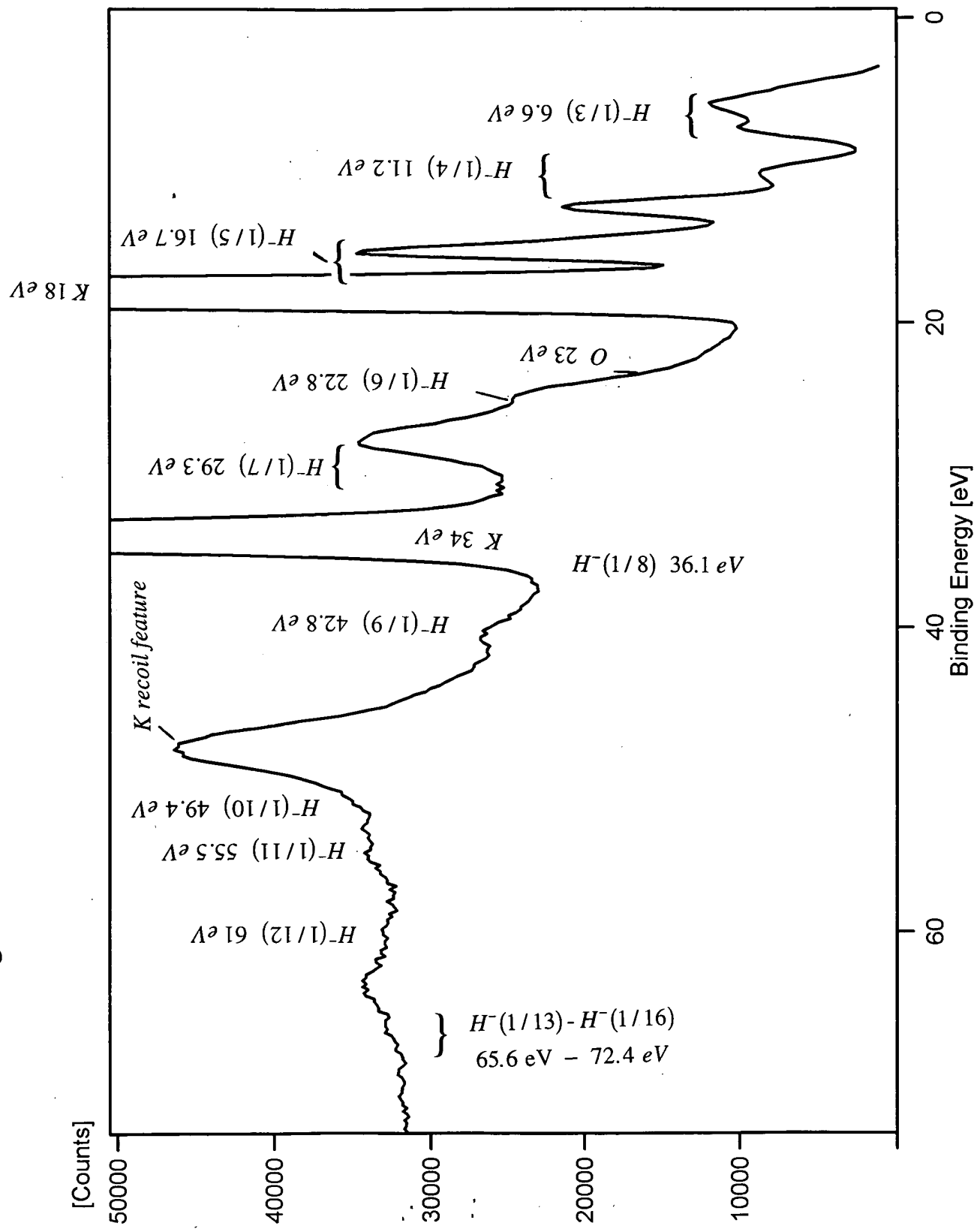


Fig. 28

Fig. 29



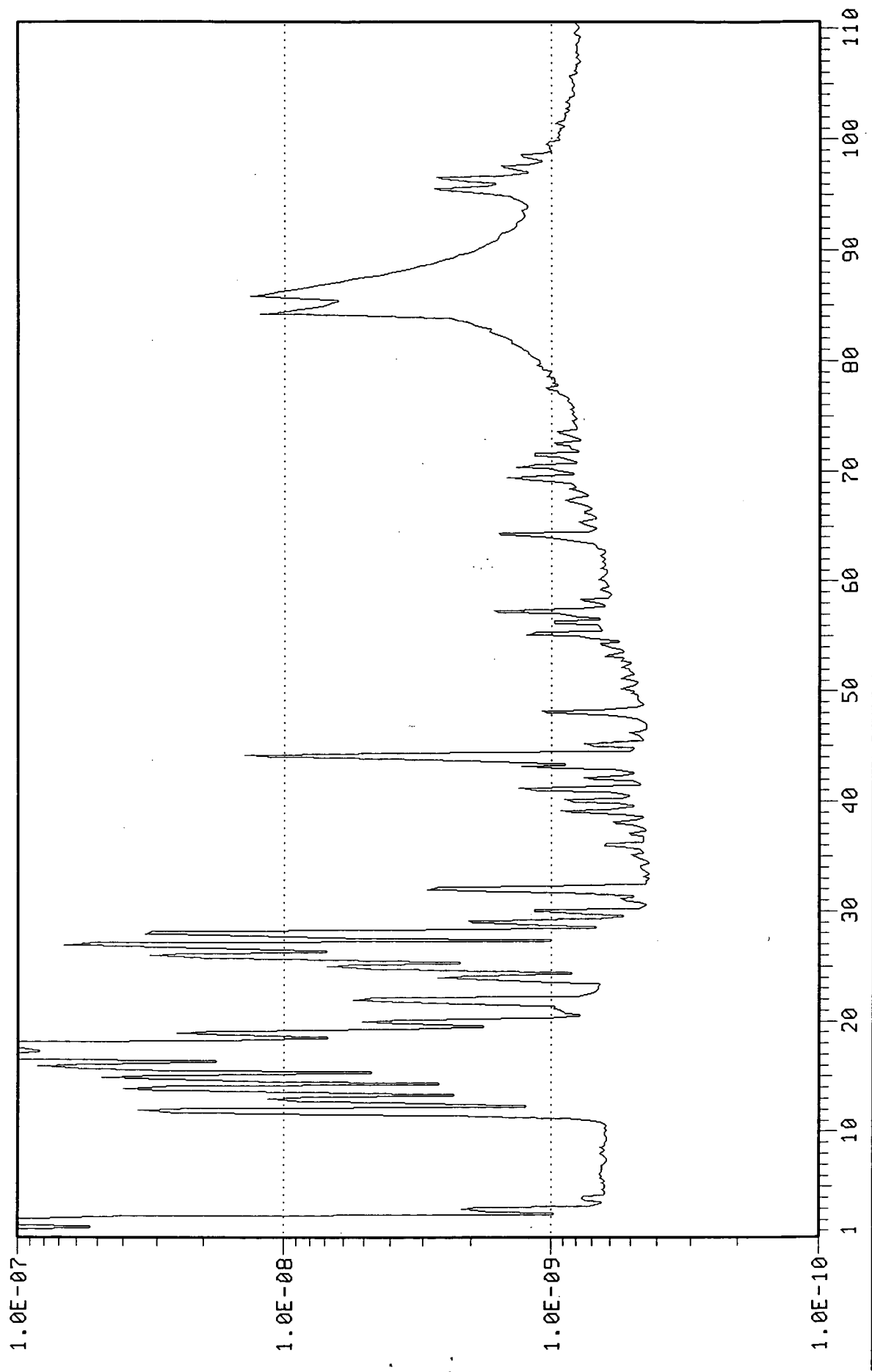


Fig. 30

0.3002342 = 0.120322

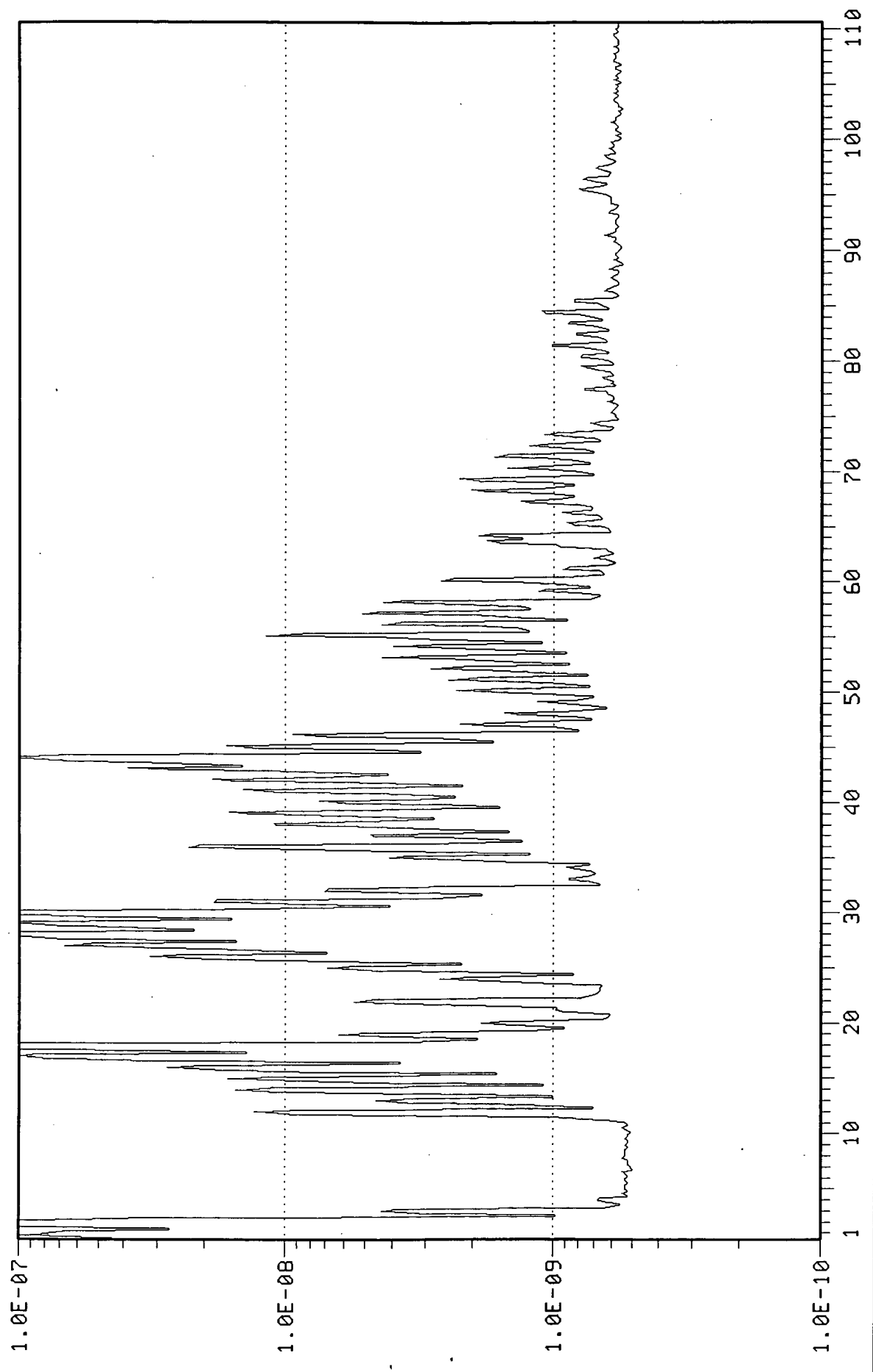


Fig. 31

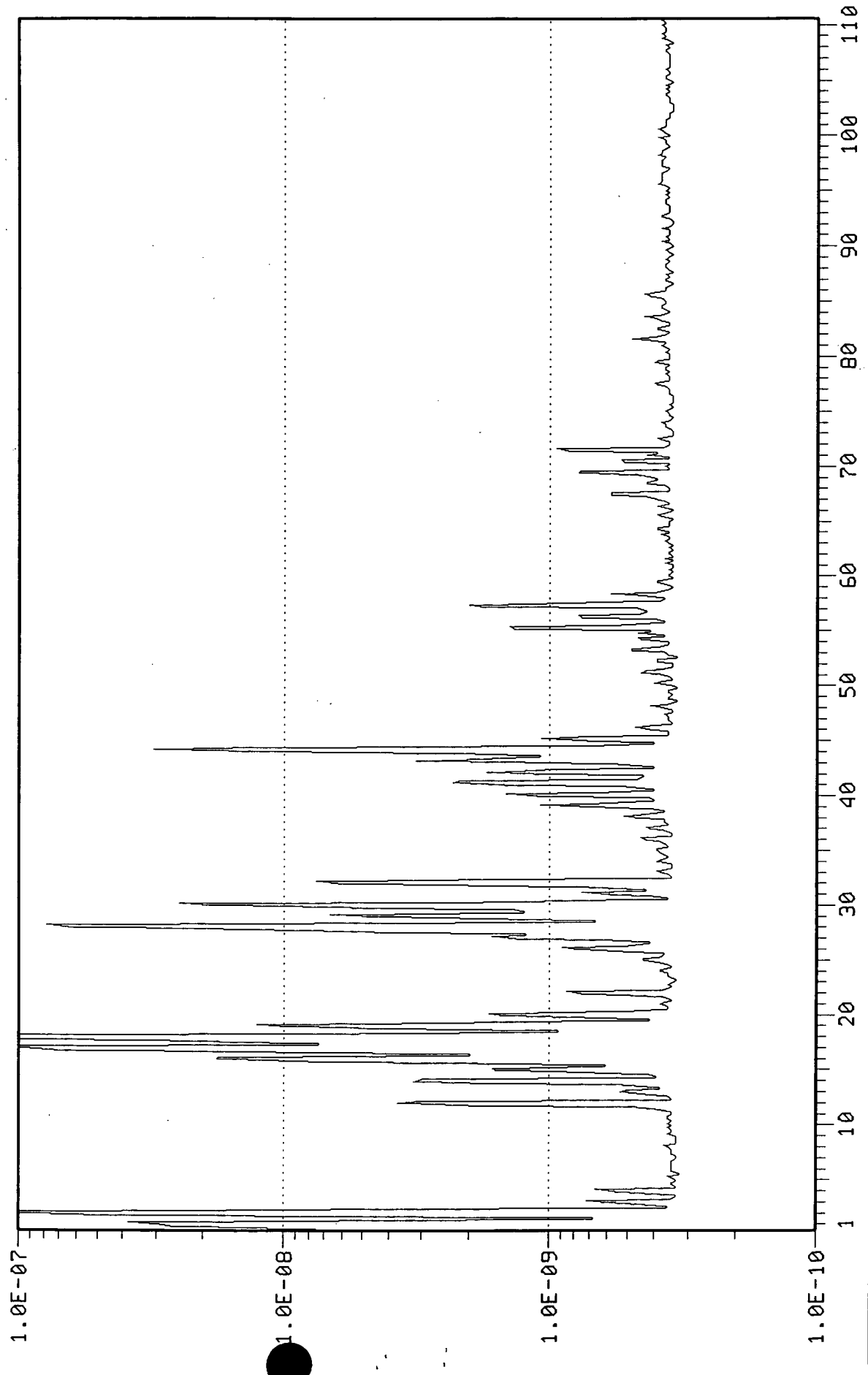


Fig. 32

0 2 0 0 2 2 4 2 7 0 1 2 0 0 0 0

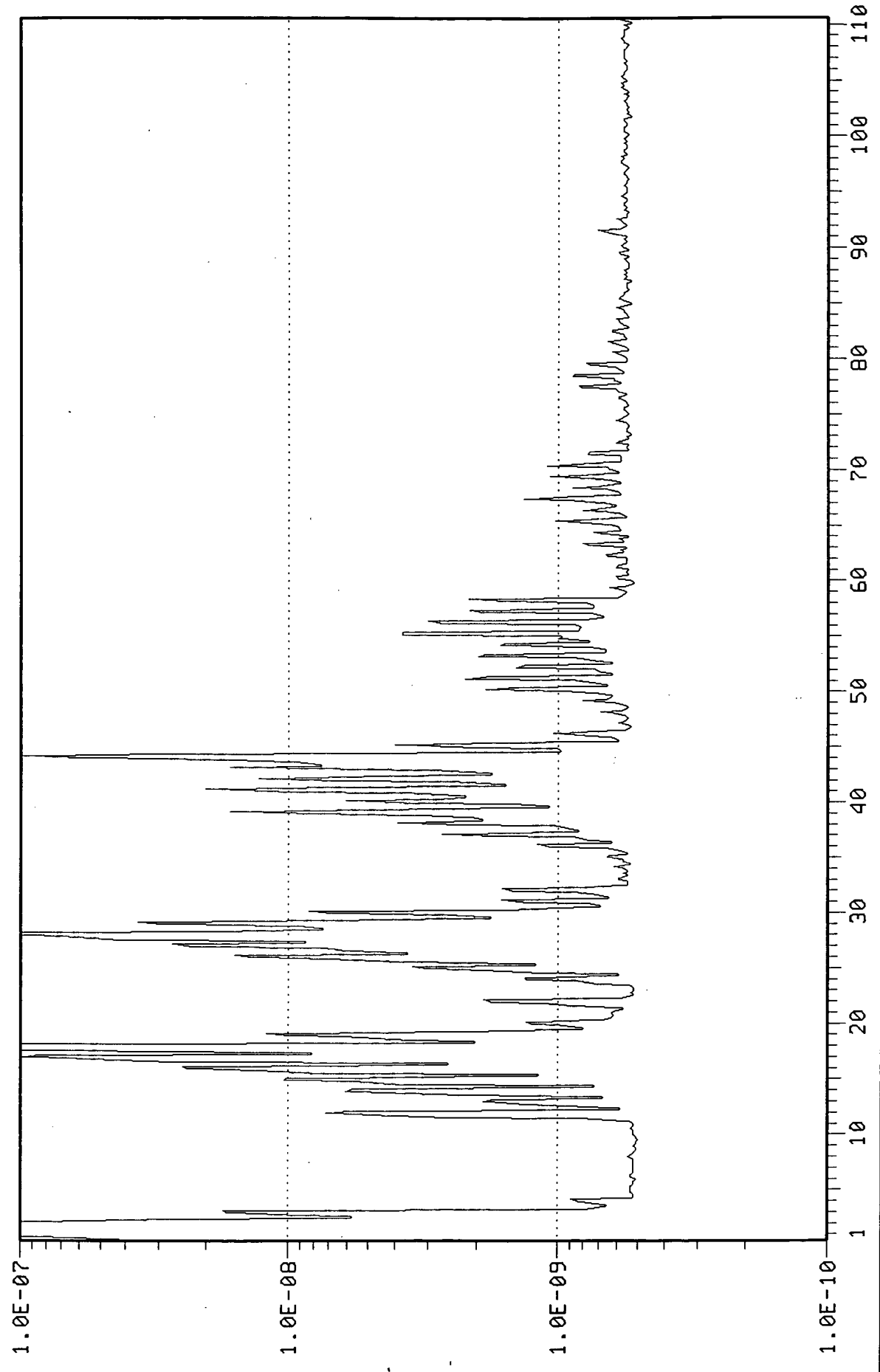


Fig. 33

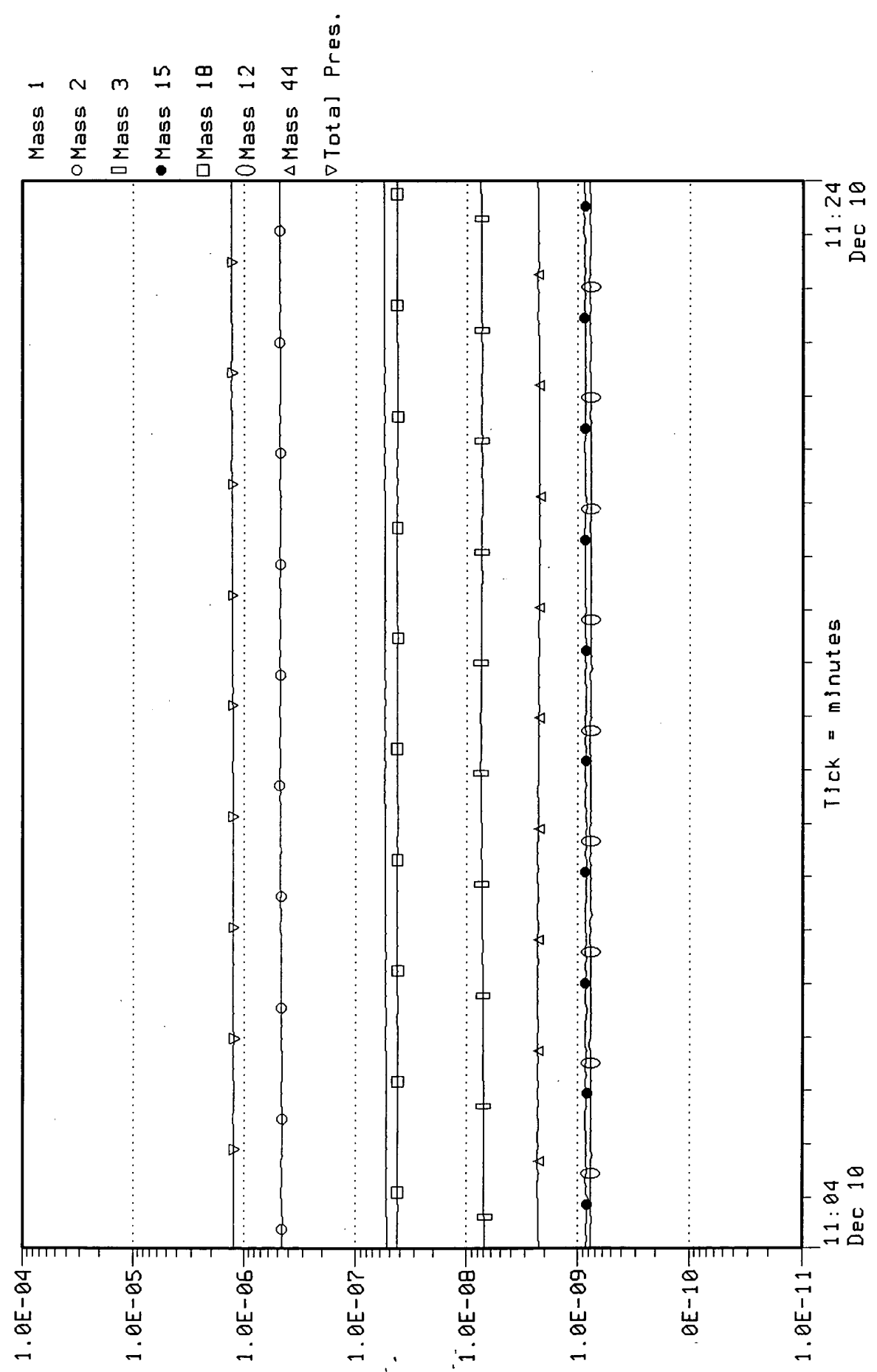


Fig. 34

02022942 - 20202942

Fig. 35

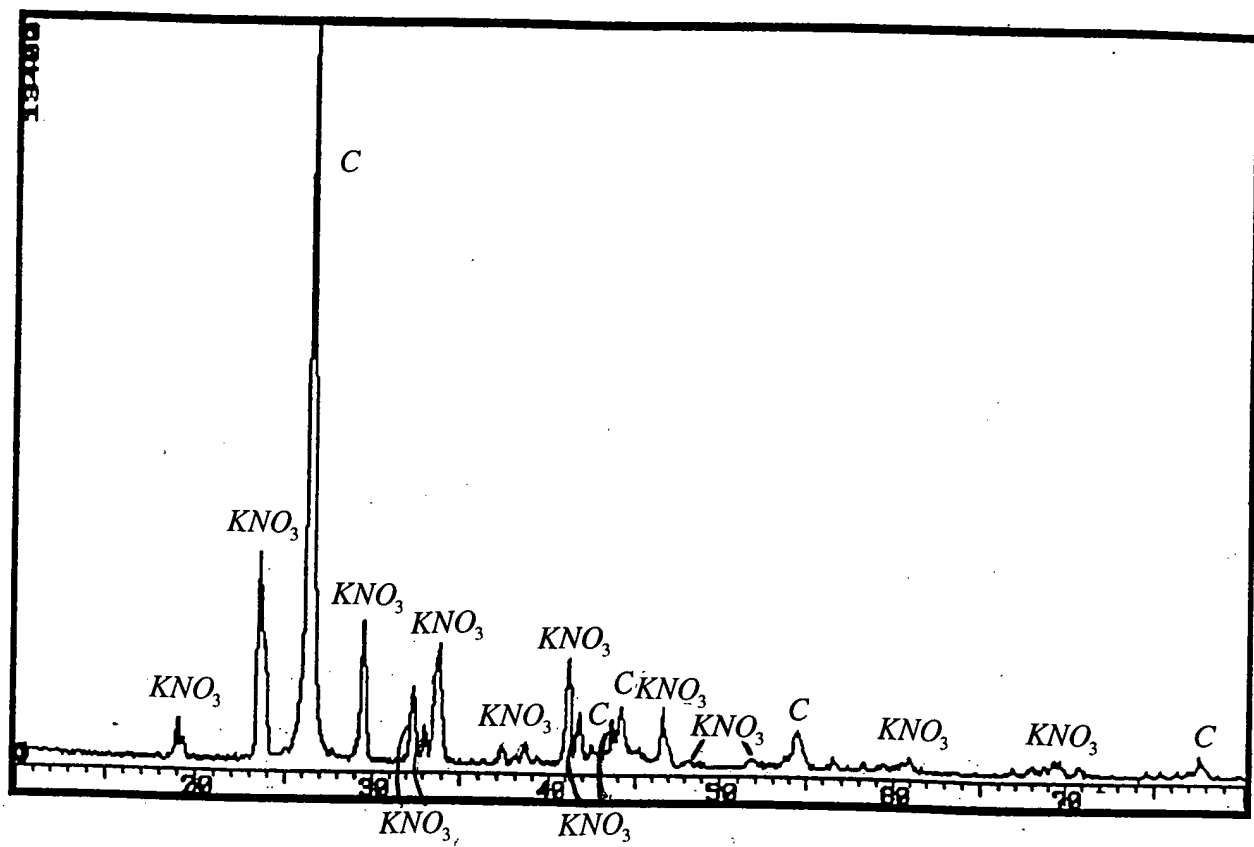


Fig. 36

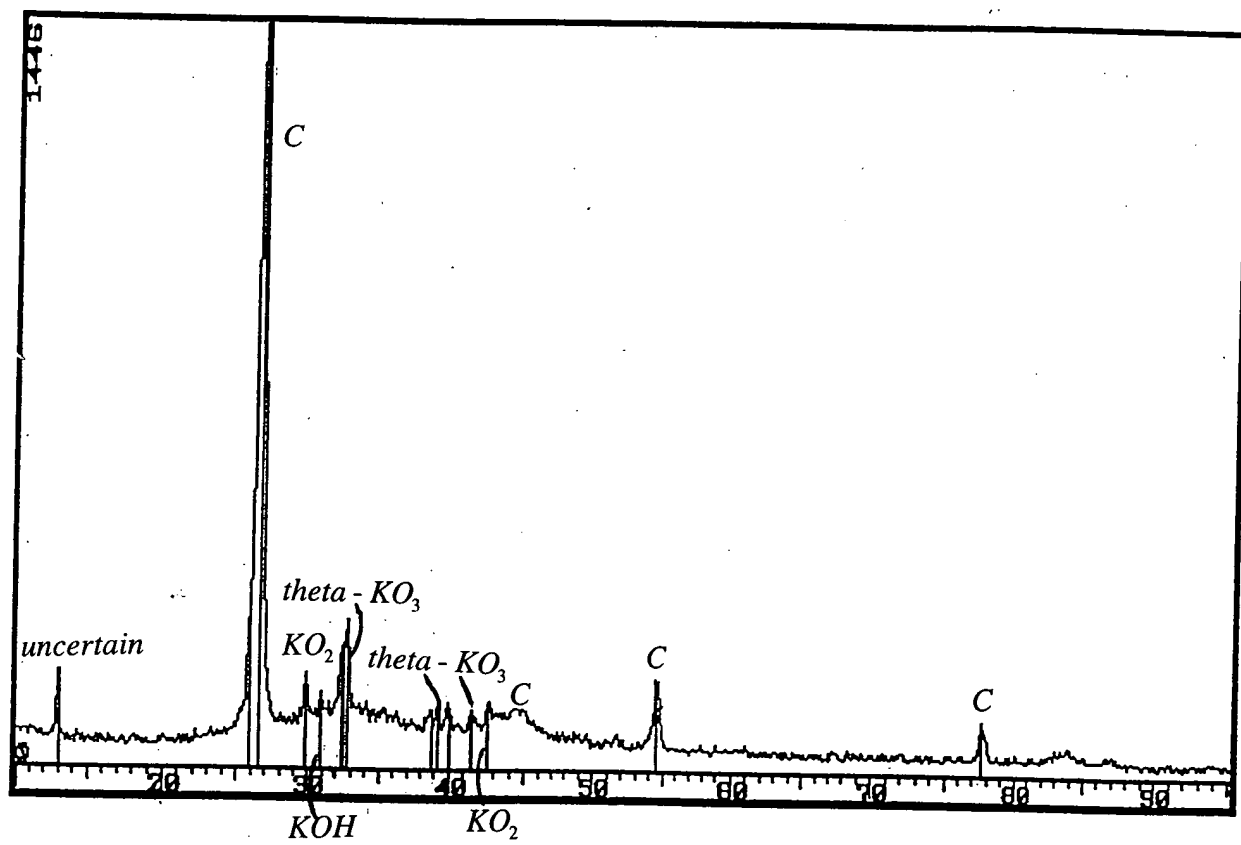


Fig. 37

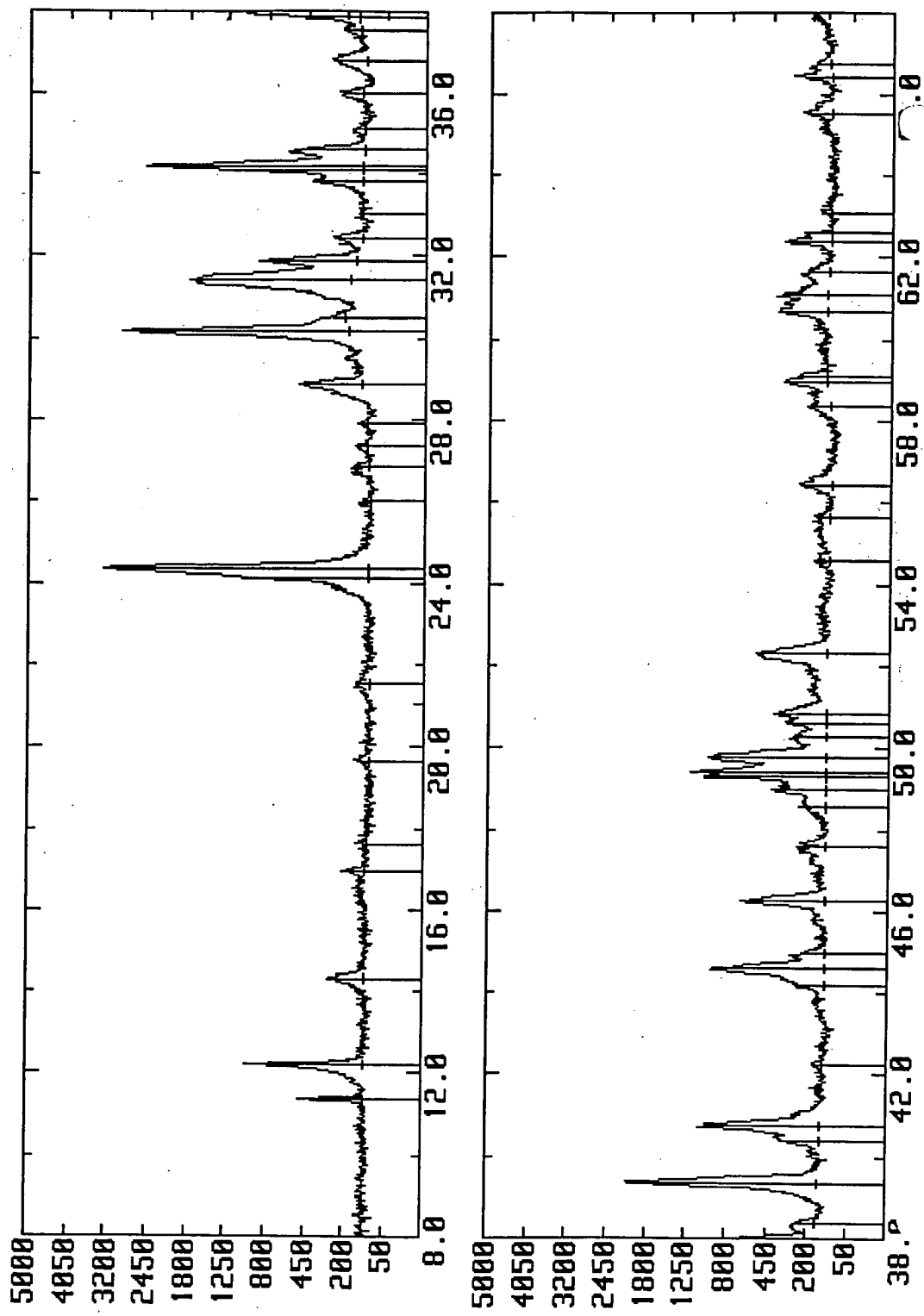


Fig. 38

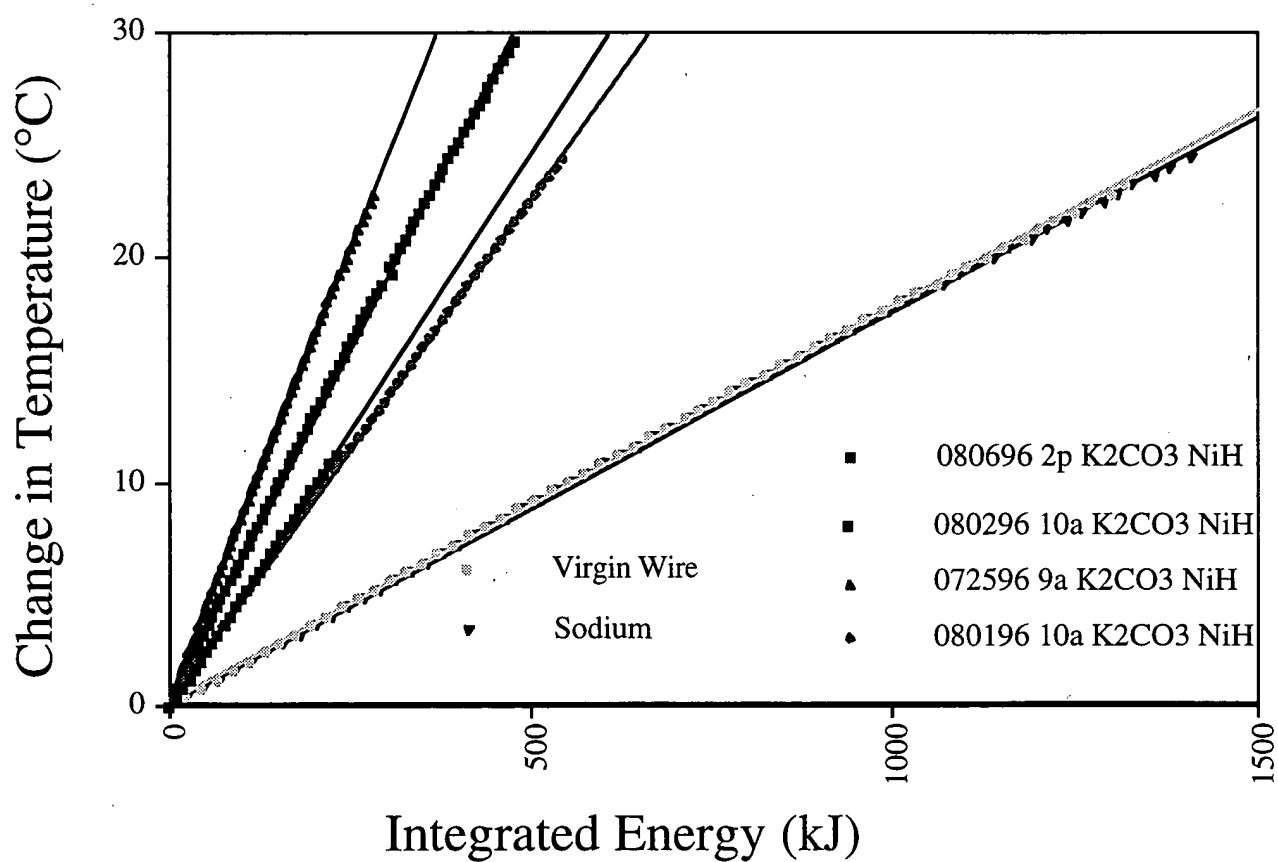
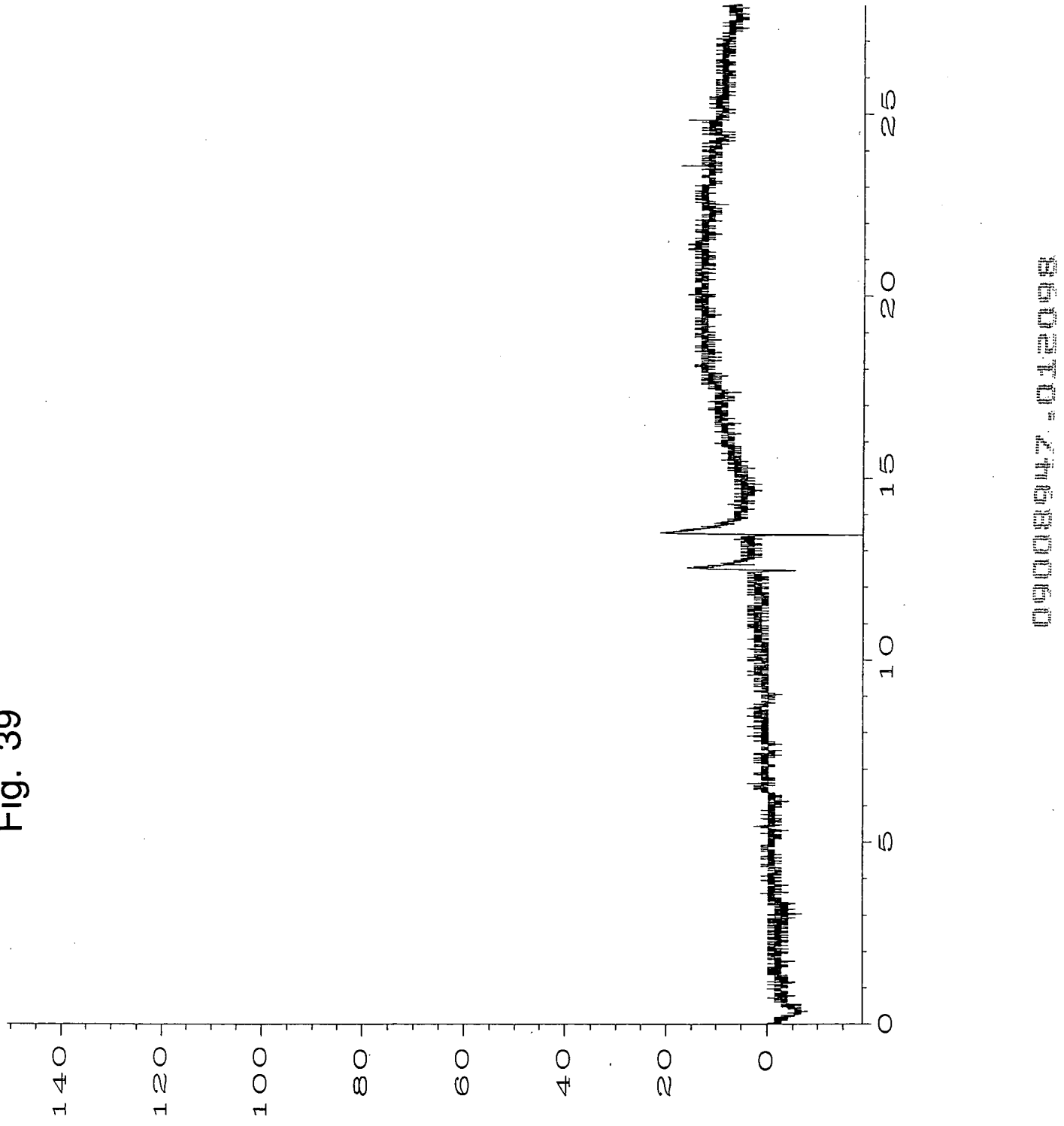


Fig. 39



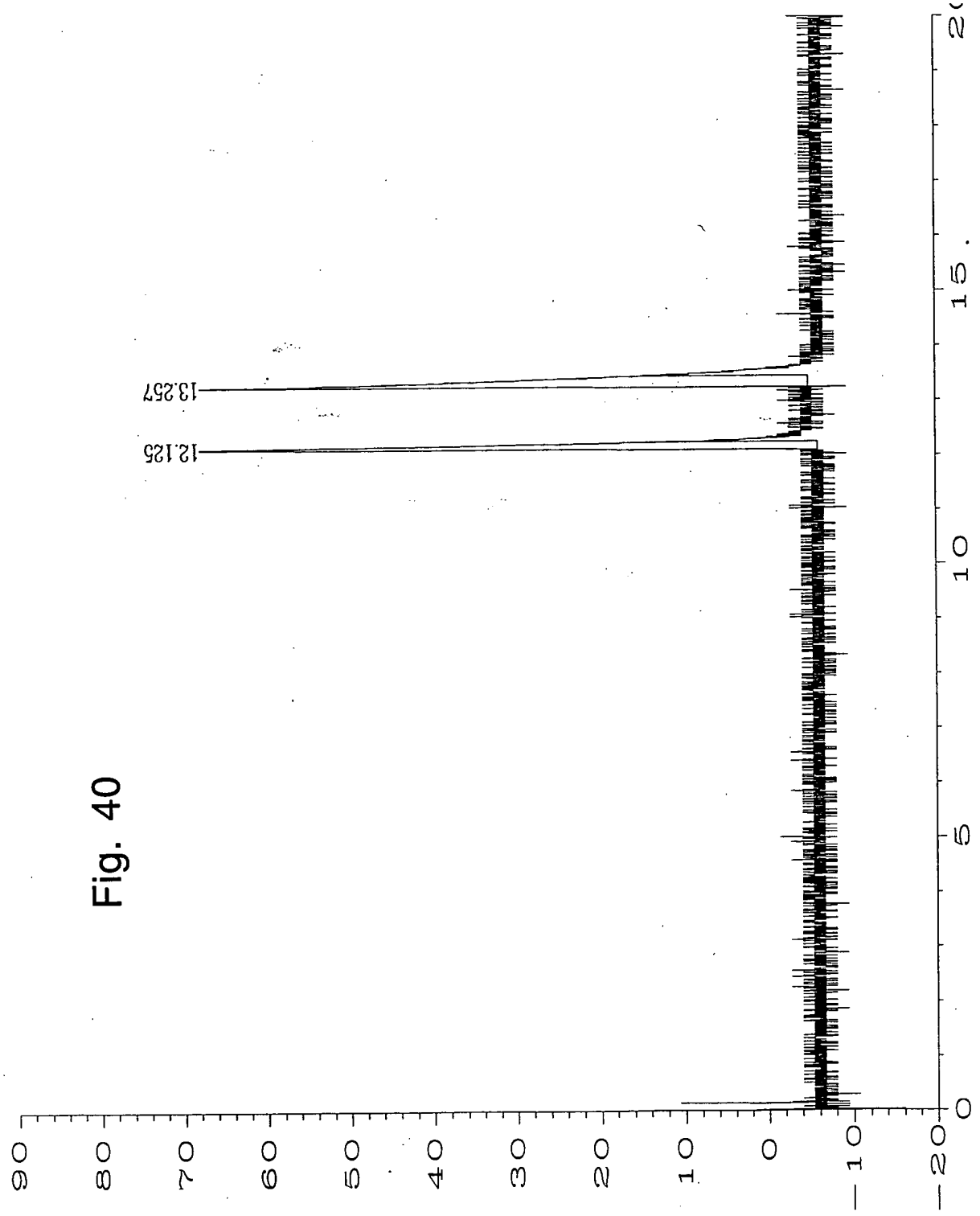


Fig. 40

Fig. 41

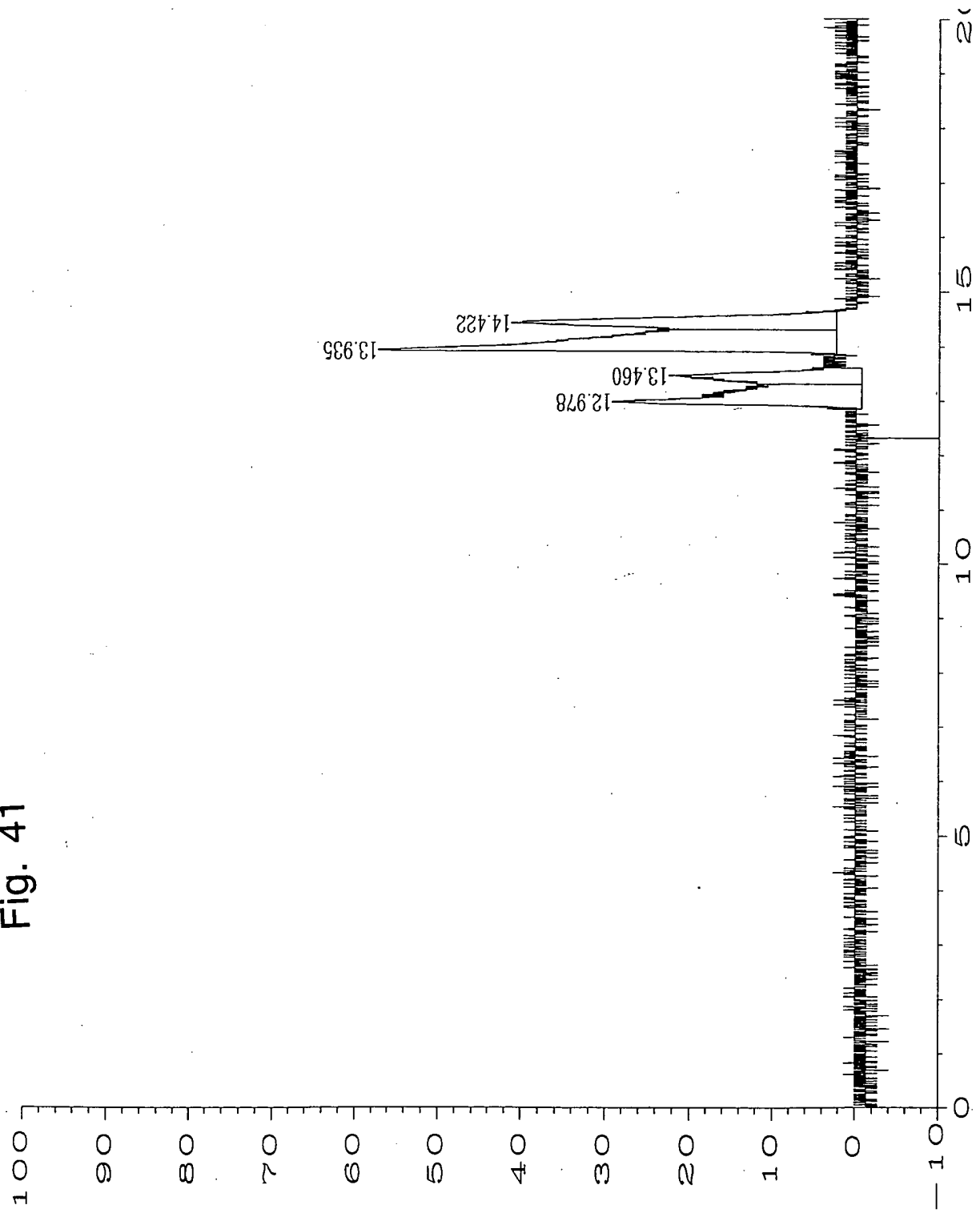


Fig. 42

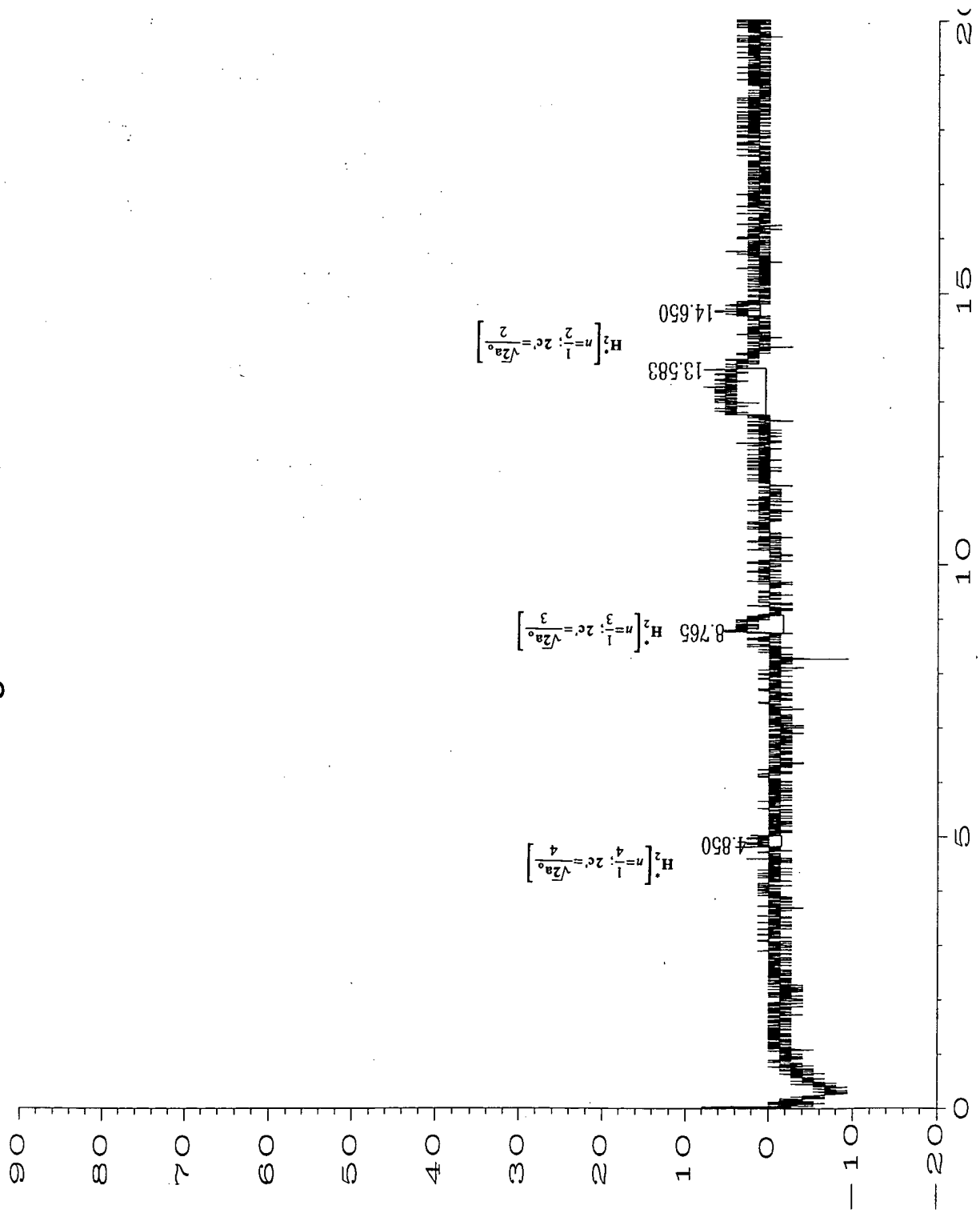


Fig. 43

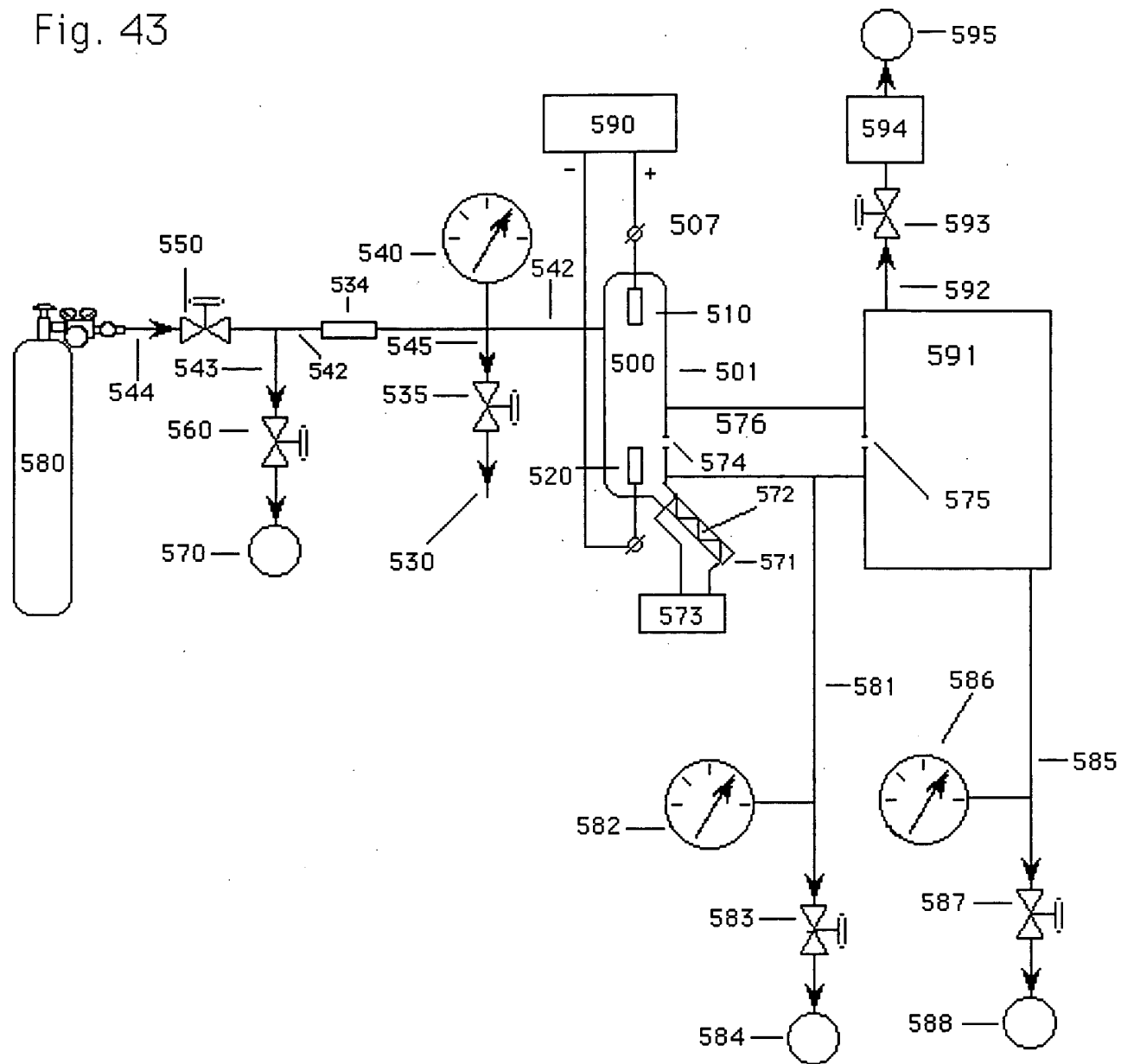


Fig. 44

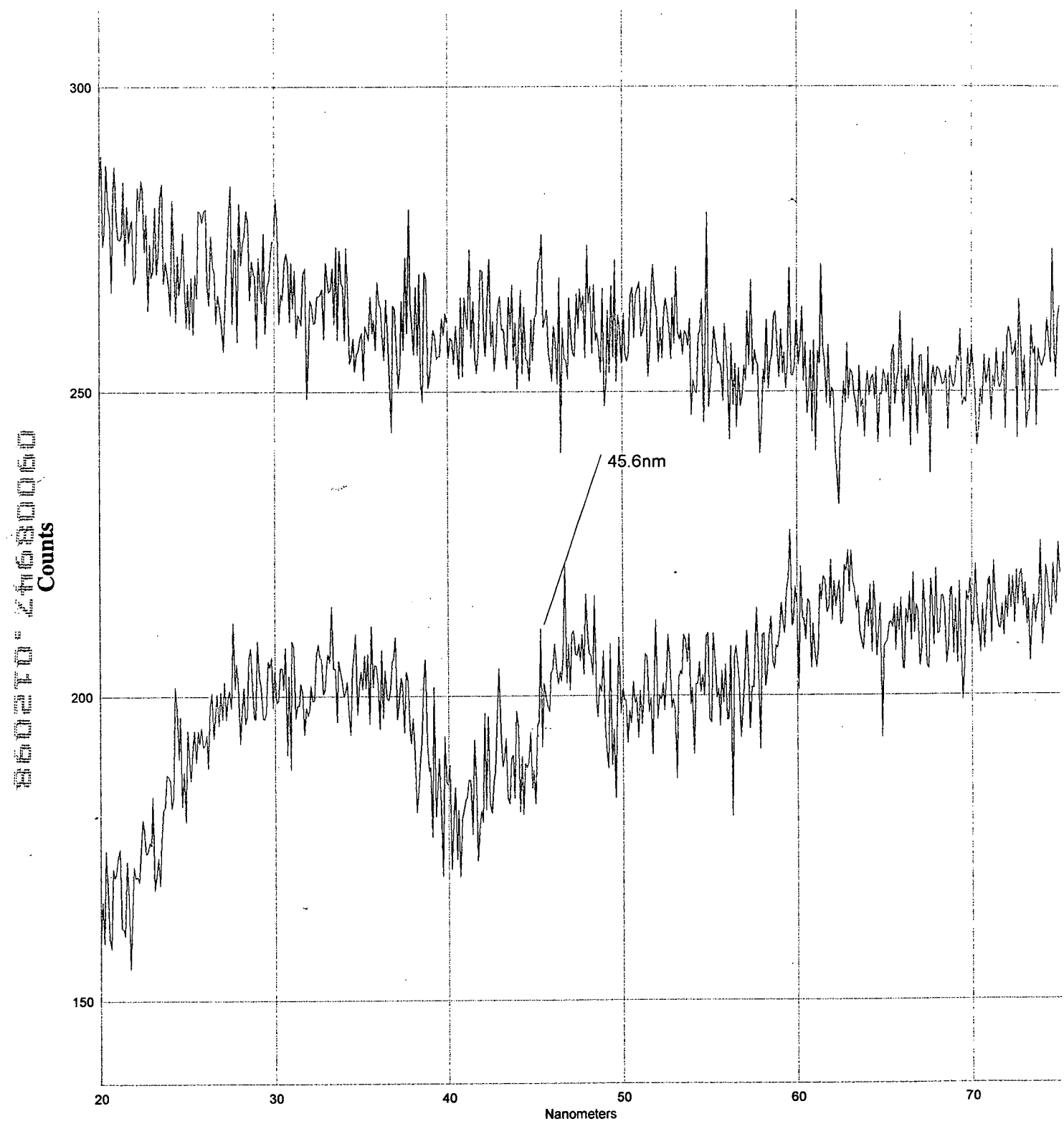


Fig. 45

கார்பாக்டோ கார்பாக்டோ கார்பாக்டோ

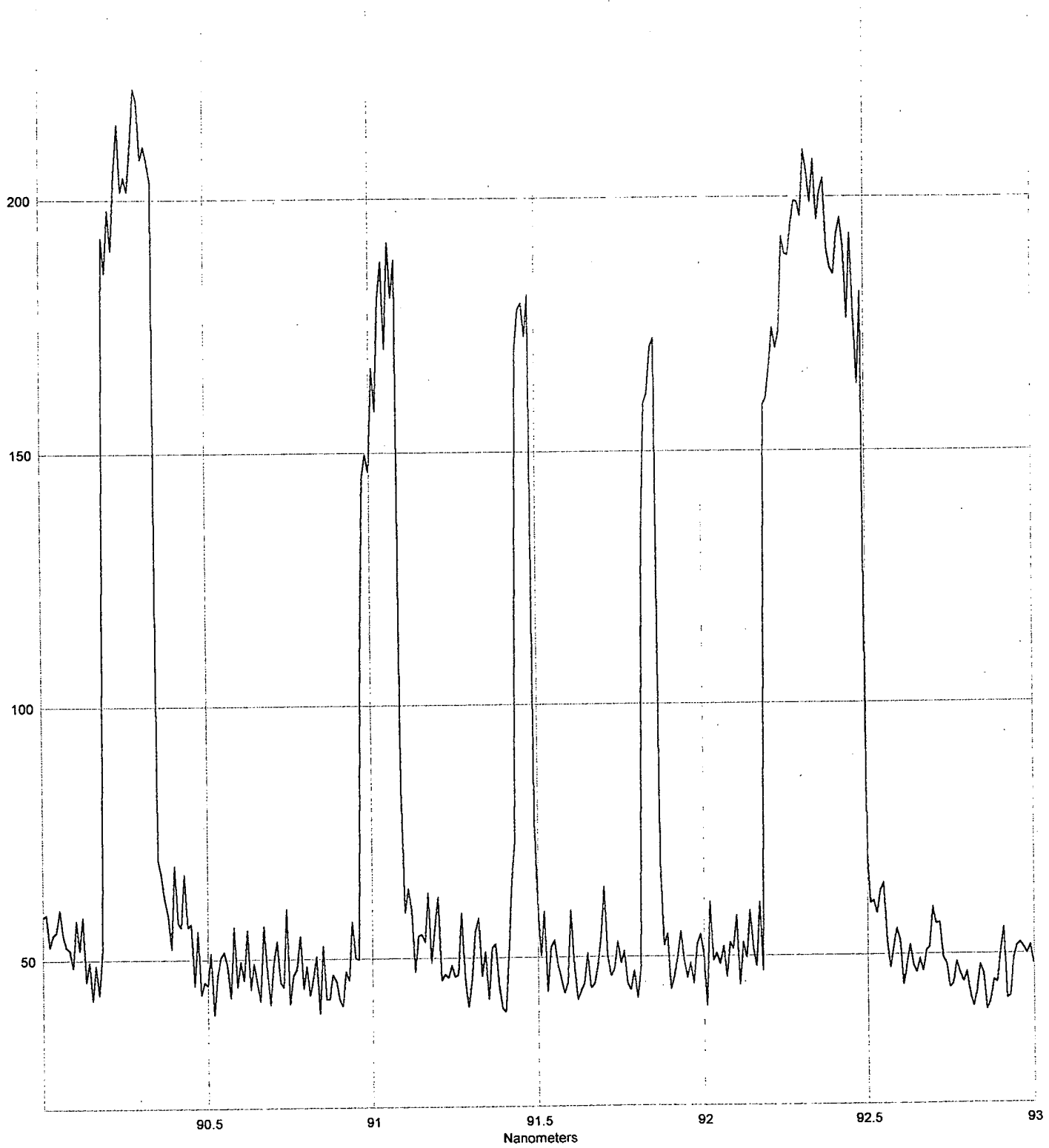


Fig. 46

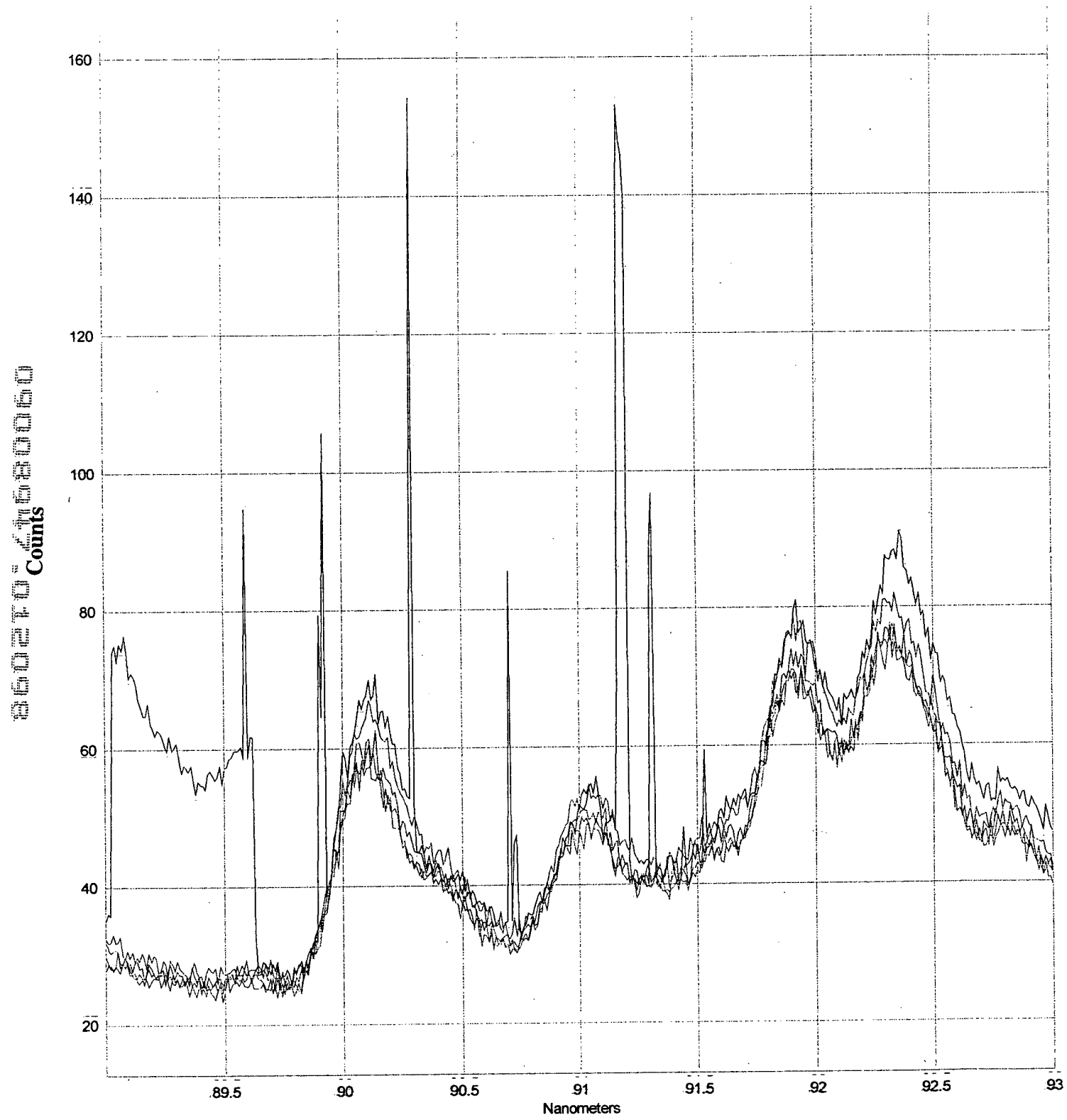


Fig. 47

Elemental Counts

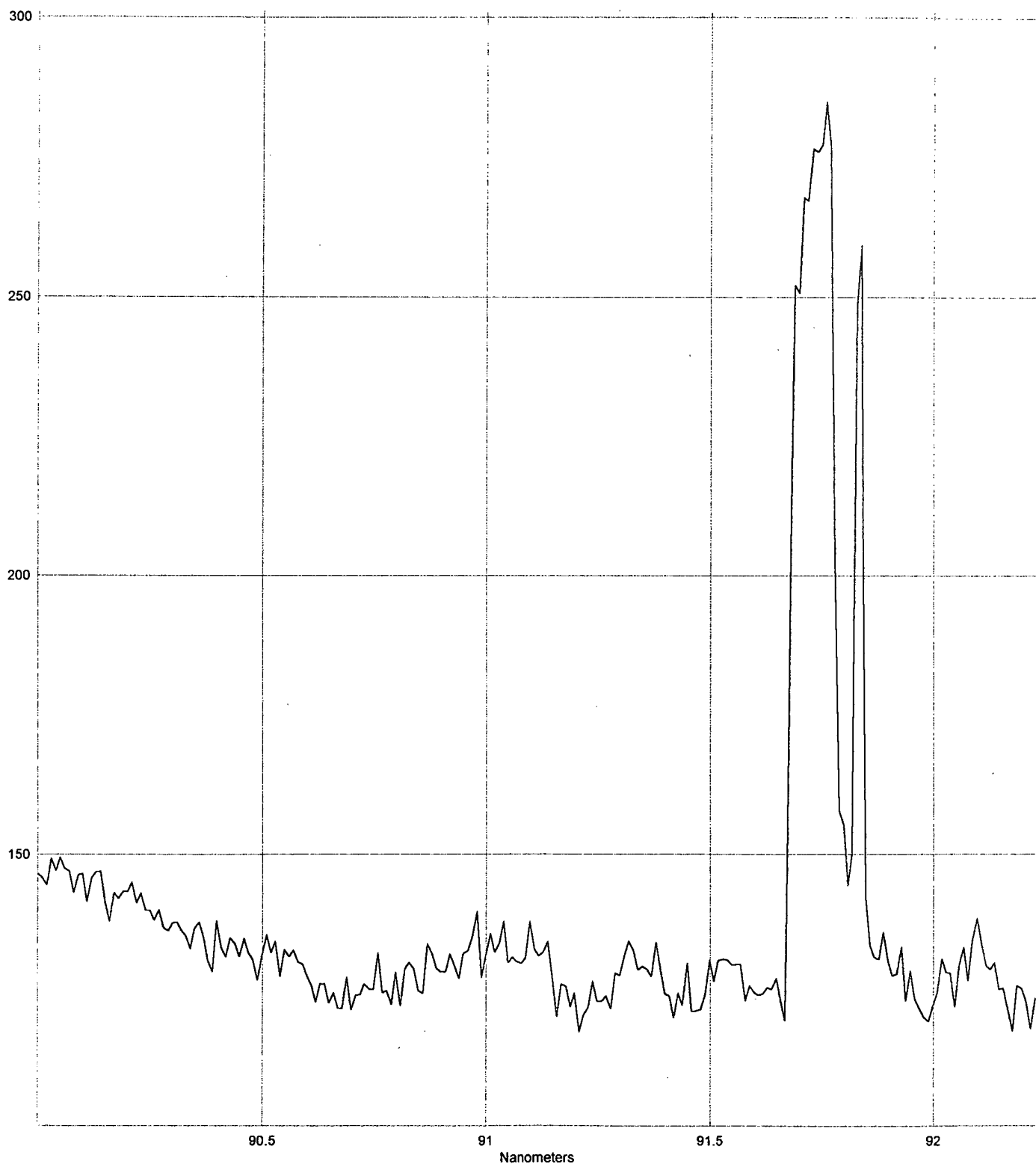


Fig. 48

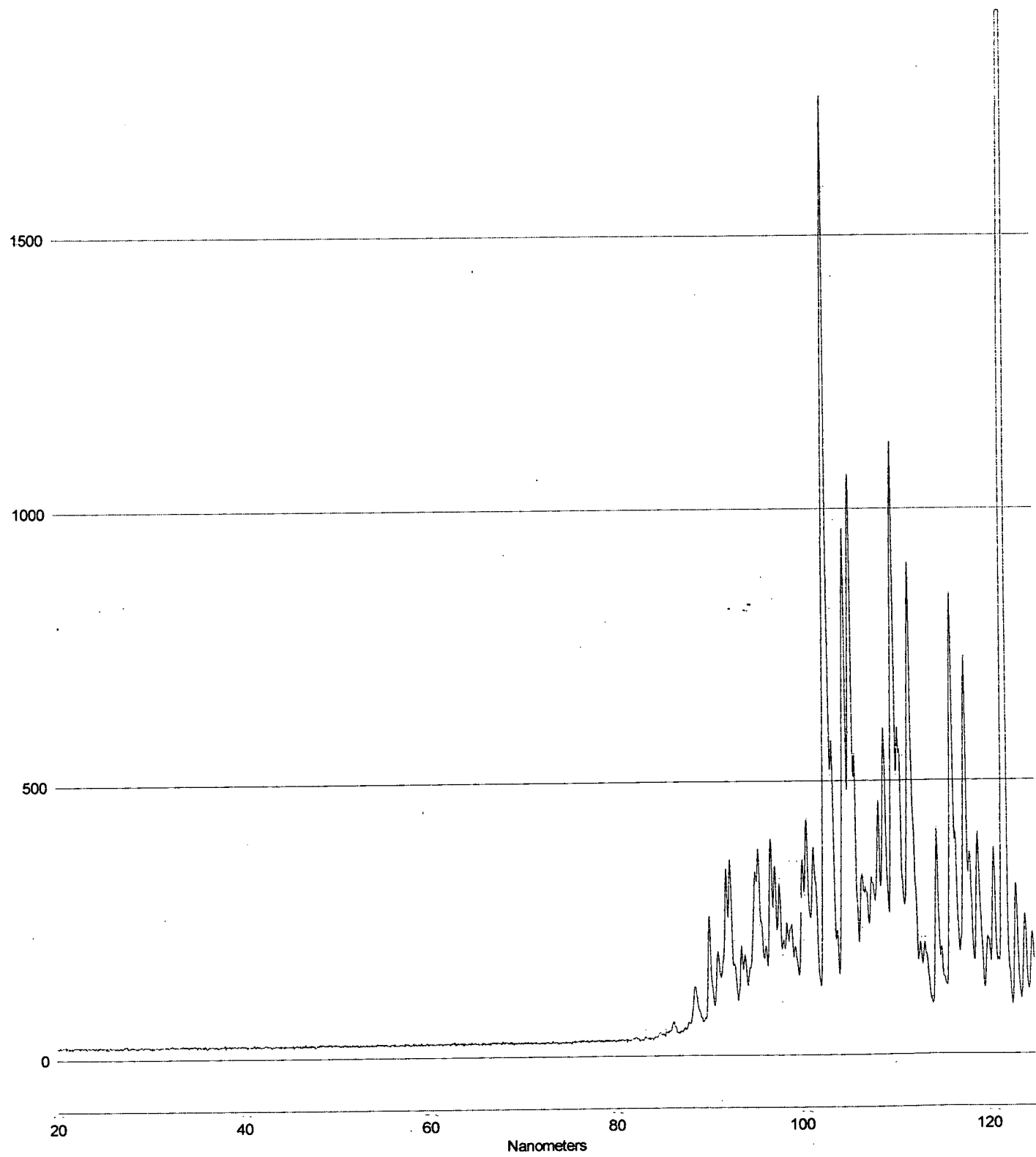
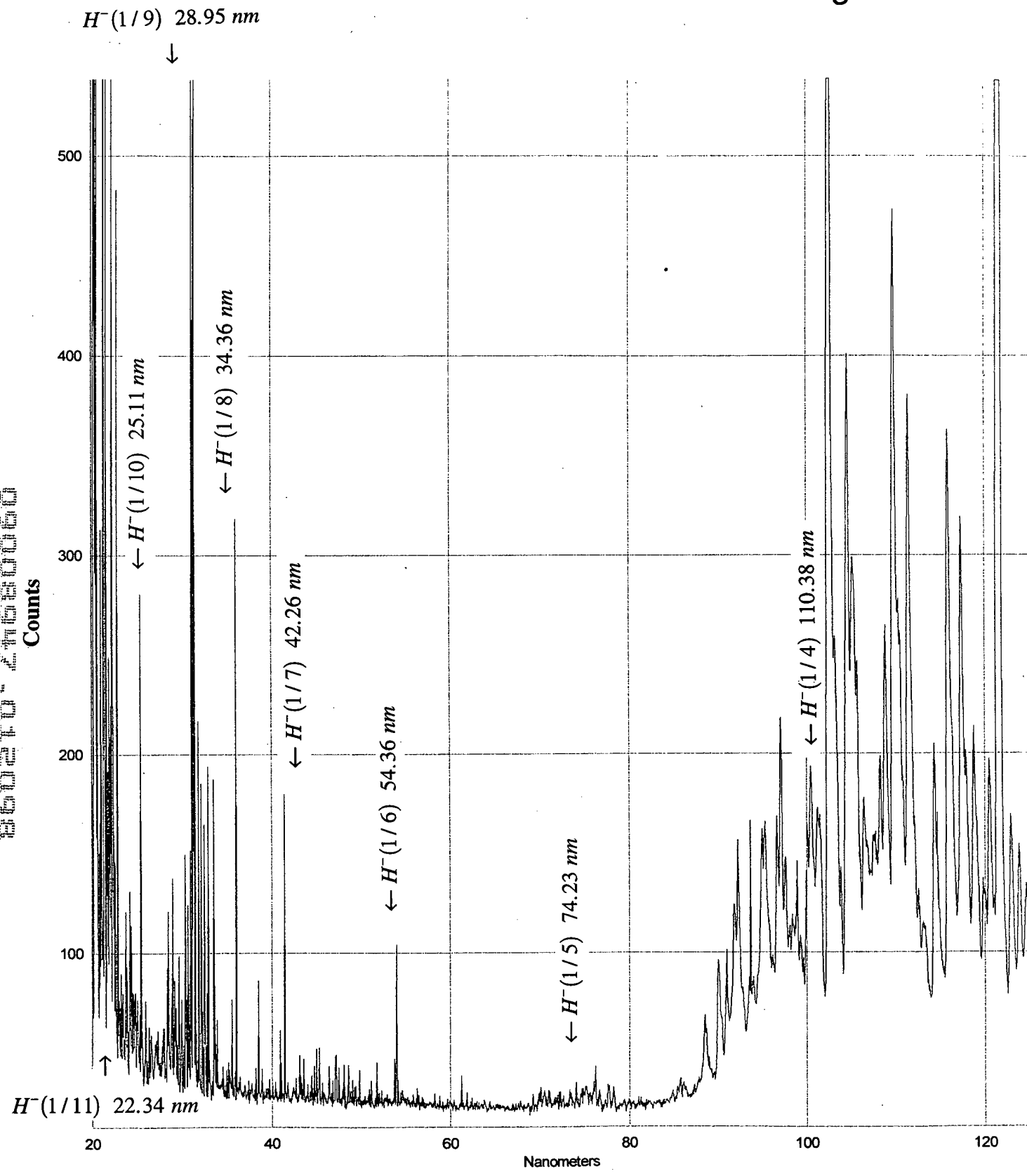


Fig. 49



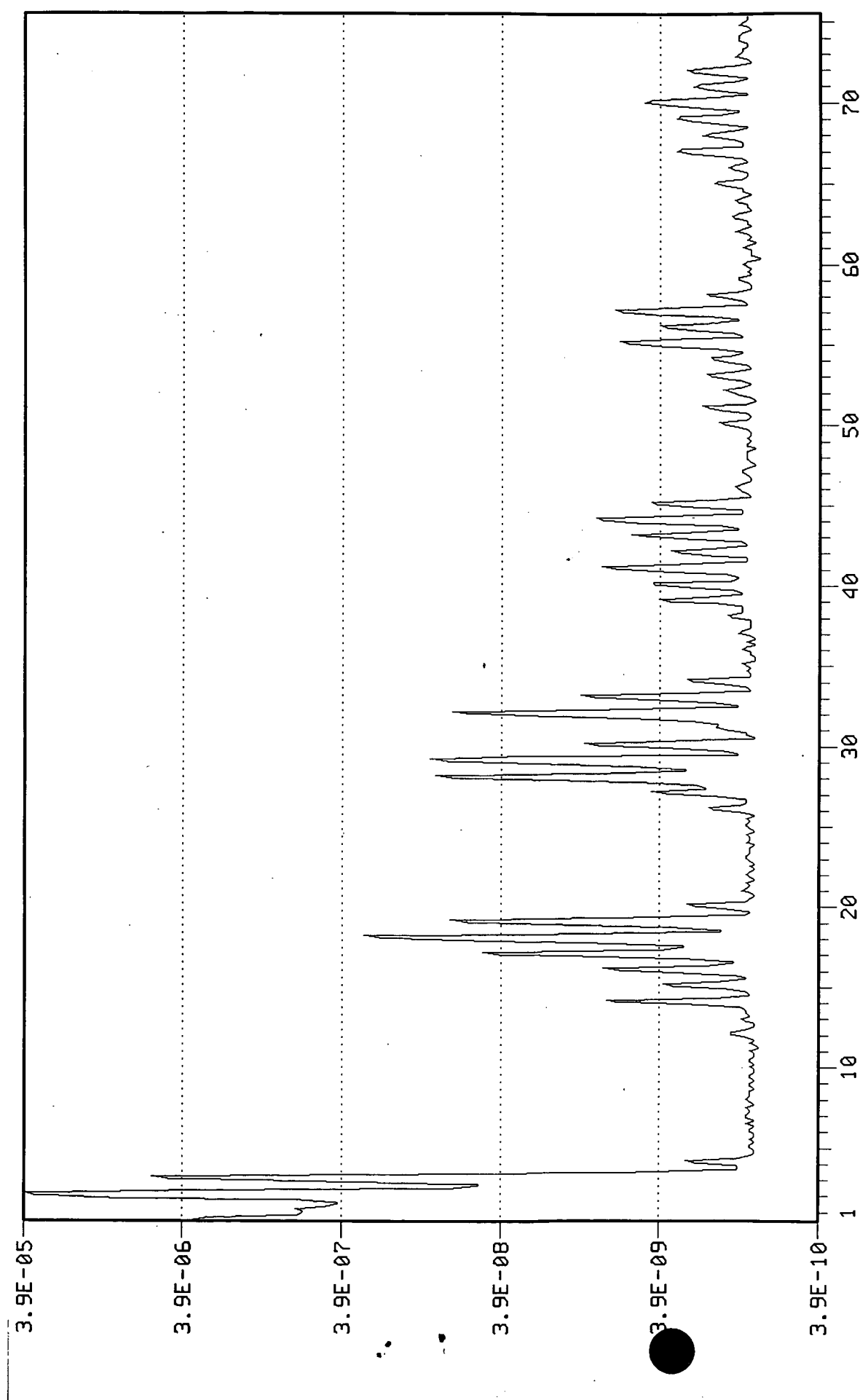


Fig. 50

3.9E-05 3.9E-06 3.9E-07 3.9E-08 3.9E-09 3.9E-10

Fig. 51

Counts/Counts/Counts/Counts

